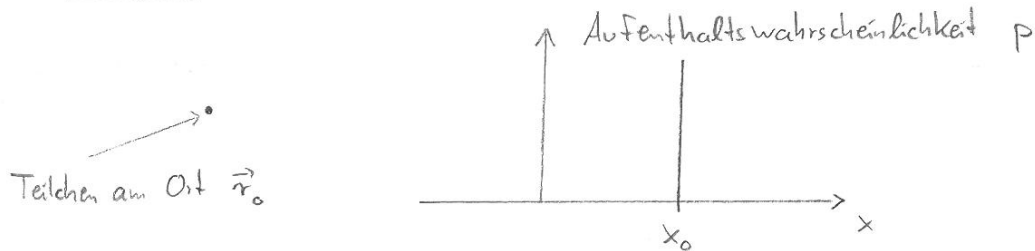


## IV Quantenmechanik

### IV. 1 Einleitung

bis jetzt:  $\rightarrow$  klassische Mechanik

Beschreibung des Systems durch die Bahnen einzelner  
Teilchen:  $\vec{r}_i(t)$



$$p(\vec{r}) = \delta(\vec{r} - \vec{r}_0)$$

$\rightarrow$  Elektrodynamik

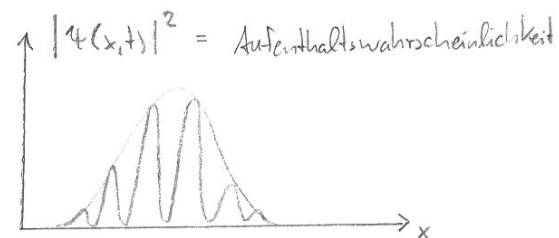
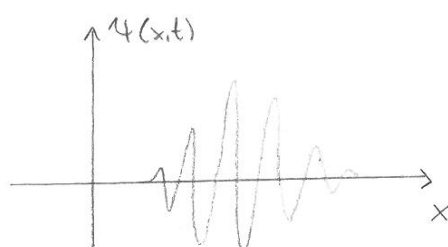
elektrisches und magnetisches Feld  $\vec{E}(\vec{r}, t), \vec{B}(\vec{r}, t)$

elektromagnetische Wellen



Was ist die grundlegende Größe in der Quantenmechanik?

Wellenfunktion  $\psi(\vec{r}, t)$  für ein Teilchen



Teilchen

hat sowohl Wellen- als auch Teilcheneigenschaften



"Welle-Teilchen-Dualismus"

$\Rightarrow$  Quantenmechanik zur Beschreibung von „kleinen“ Teilchen (Elektronen, Atome, Moleküle) ersetzt die Beschreibung durch die klassische Mechanik

warum brauchen wir überhaupt eine Quantenmechanik

ander formuliert: wann versagt die klassische Mechanik?

Beispiele:

### 1, Welleneigenschaften von Teilchen

○ Beugung von Materiestrahlen (z.B. Elektronen) an einem Gitter

• . . mit kleiner Gitterkonstante  $a$  (Kristallgitter)  
 : : :  
 : : :  $\downarrow a$

$\Rightarrow$  Interferenzerscheinungen wie in der Optik für sichtbares Licht

Bestimmung der Wellenlänge ergibt empirisch

$$\lambda = \frac{2\pi\hbar}{p} \quad p: \text{Impuls des Teilchens}$$

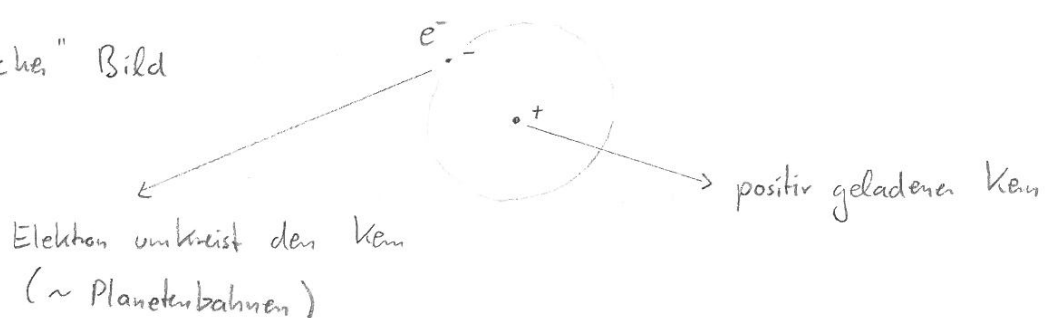
$$\hbar = 1,0546 \cdot 10^{-34} \text{ J}$$

Plancksches Wirkungsquantum

Interferenz in der klass. Mechanik nicht möglich!

### 2, Atomspektren

„klassische“ Bild



aber: beschleunigte Ladungen strahlen Energie in Form von elektromagnetischen Wellen ab

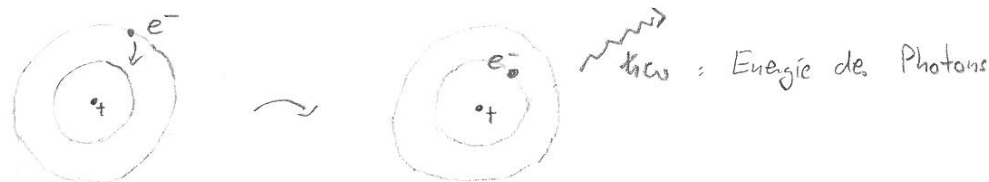
(Resultat der Elektrodynamik)

- ⇒ -  $e^-$  würde in den Kau stürzen
- Abstrahlung ein Wellen beliebiger Energie  
→ Kontinuierliches Spektrum

experimentell:

- Atome sind „stabil“ ( $e^-$  stürzt nicht in den Kau)
- ⇒ Vorstellung des  $e^-$  als Punktladung auf Kreisbahn nicht haltbar
- Atome können Energie in Form von em Wellen abstrahlen  
aber: diskrete Spektren

in einem klassischen Bild würde das bedeuten:



- nur bestimmte Kreisbahnen sind möglich
- = Bohrsche Quantisierung bedingung (1913)

Beispiel: Emissionslinien des Wasserstoffatoms

$$\hbar\omega = \text{const} \cdot \left( \frac{1}{n^2} - \frac{1}{m^2} \right) \quad n, m \in \mathbb{N}$$

aus 1, und 2, folgt also

- Klass. Mechanik zur Beschreibung „kleiner“ Teilchen, unzureichend
- Hinweise auf Struktur der neuen Theorie
  - muß wellenartige Zustände ermöglichen
  - muß diskrete Zustände ergeben.

⇒ bekannt aus der Mathematik: Differentialgleichungen mit Randbedingungen für die Lösungen

### Schrödinger-Gleichung für freie Teilchen

Lösungen dieser SG sollen von folgender Form sein

$$\psi(\vec{r}, t) = C e^{i(\vec{k} \cdot \vec{r} - \omega t)} \quad (\text{vgl. eine Welle})$$

$\psi(\vec{r}, t)$ : skalares Feld, „Wellenfunktion“

$$|\vec{k}| = k = \frac{2\pi}{\lambda} \quad \lambda: \text{Wellenlänge}$$

↑  
siehe XIII-2      mit     $\lambda = \frac{2\pi\hbar}{p}$

$$\Rightarrow k = \frac{p}{\hbar} \quad ; \quad \vec{k} = \frac{\vec{p}}{\hbar}$$

$$\vec{p} = \hbar \vec{k}$$

Interpretation von  $\omega$ :

$$\hbar\omega = E : \text{Energie des Teilchens}$$

↗ analog zu Planck: Quantisierung der Energie einer Welle in der Hohlraumstrahlung

Behauptung:

dieses  $\psi(\vec{r}, t)$  ist die Lösung der zeitabhängigen SG für freie Teilchen:

Aufgabe 6

$$\boxed{i\hbar \frac{\partial}{\partial t} \psi(\vec{r}, t) = -\frac{\hbar^2}{2m} \Delta \psi(\vec{r}, t)}$$

Beweis:

$$\begin{aligned} 1. \quad i\hbar \frac{\partial}{\partial t} \psi(\vec{r}, t) &= C e^{i\vec{k} \cdot \vec{r}} \underbrace{i\hbar \frac{\partial}{\partial t} e^{-i\omega t}}_{= -i\omega e^{-i\omega t}} \\ &= \underbrace{\hbar\omega}_{= E} \psi(\vec{r}, t) \end{aligned}$$

d.h. in der QM ist der Energie  $E$  der Operator  $i\hbar \frac{\partial}{\partial t}$  zuzuordnen

$$\boxed{E \rightarrow i\hbar \frac{\partial}{\partial t}}$$

(mehr dazu später)

$$\begin{aligned} 2. \quad \underbrace{-\frac{\hbar^2}{2m} \Delta \psi(\vec{r}, t)}_{=} &= \frac{1}{2m} (-i\hbar \vec{\nabla}) \cdot (-i\hbar \vec{\nabla}) \\ &= i\hbar \vec{k} \cdot \vec{\nabla} \psi(\vec{r}, t) \end{aligned}$$

bilde also:

$$\begin{aligned} -i\hbar \vec{\nabla} \psi(\vec{r}, t) &= C e^{-i\omega t} (-i\hbar) \underbrace{\vec{\nabla} e^{i\vec{k} \cdot \vec{r}}}_{= i\vec{k} e^{i\vec{k} \cdot \vec{r}}} \\ &= i\vec{k} \psi(\vec{r}, t) \\ &= \underbrace{\hbar \vec{k}}_{= \vec{p}} \psi(\vec{r}, t) \end{aligned}$$

d.h. in der QM ist dem Impuls  $\vec{p}$  der Operator  $-i\hbar \vec{\nabla}$  zuzuordnen

$$\boxed{\vec{p} \rightarrow -i\hbar \vec{\nabla}}$$

(mehr dazu später)

$$(-i\hbar \vec{\nabla}) \cdot (-i\hbar \vec{\nabla}) \psi(\vec{r}, t) =$$

$$\begin{aligned} -i\hbar \vec{\nabla} \cdot \vec{k} \psi(\vec{r}, t) &= -i\hbar^2 \vec{k} \cdot \underbrace{\vec{\nabla} \psi(\vec{r}, t)}_{= (\vec{k} \psi(\vec{r}, t))} \\ &= \vec{k}^2 \psi(\vec{r}, t) \end{aligned}$$

$$\Rightarrow -\frac{\hbar^2}{2m} \Delta \psi(\vec{r}, t) = \frac{\hbar^2 k^2}{2m} \psi(\vec{r}, t)$$

aus der SG für freie Teilchen folgt damit:

$$E \psi(\vec{r}, t) = \frac{\hbar^2 k^2}{2m} \psi(\vec{r}, t) \quad \psi \neq 0$$

$$\Rightarrow \boxed{E = \frac{\hbar^2 k^2}{2m}}$$

$$\text{oder: } E = \frac{p^2}{2m}$$

$$\text{analog zu } E = \underset{\substack{\uparrow \\ V=0}}{T} = \frac{1}{2} m v^2 = \underset{\substack{\uparrow \\ v=\frac{p}{m}}}{\frac{p^2}{2m}} \text{ in der klassischen Mechanik}$$

jetzt  $V \neq 0$ :

→ Schrödinger-Gleichung für ein Teilchen im Potential  $V(\vec{r})$

$$\text{Klassische Mechanik: } E = \underset{\substack{\uparrow \\ V=0}}{T} + V = \frac{p^2}{2m} + V(\vec{r})$$

Übergang zur SG:

$$\begin{aligned}
 E &= \frac{p^2}{2m} + V(\vec{r}) \\
 \downarrow &\quad \downarrow \quad \downarrow \\
 i\hbar \frac{\partial}{\partial t} &- \frac{\hbar^2}{2m} \Delta \quad V(\vec{r}) \\
 &= H : \text{Hamilton-Operator} \\
 &\quad (\text{vgl. } H = T + V)
 \end{aligned}$$

und damit

$$i\hbar \frac{\partial}{\partial t} \Psi(\vec{r}, t) = \left( -\frac{\hbar^2}{2m} \Delta + V(\vec{r}) \right) \Psi(\vec{r}, t)$$

was haben wir bis jetzt:

- wellenartige Zustände ✓
  - diskrete Zustände ?
- ↳ Lösung der SG für  $V(\vec{r}) \neq 0$

## IV.2 Struktur der Quantenmechanik

### Operatoren:

zur Erinnerung:  $E \rightarrow i\hbar \frac{\partial}{\partial t}$

$$\vec{p} \rightarrow -i\hbar \vec{\nabla}$$

$\underbrace{\qquad\qquad\qquad}_{\text{sog. Operatoren}}$

allgemein: was macht ein Operator  $\hat{A}$   
 → definiert über die Wirkung auf Funktionen  $\Psi$

○  $\hat{A}\Psi = \Psi$   $\hookrightarrow$  ebenfalls eine Funktion

z.B.  $\hat{A} = \frac{\partial}{\partial t}$  ;  $\Psi = \Psi(t)$

$$\Rightarrow \hat{A}\Psi = \frac{\partial}{\partial t} \Psi(t) = \dot{\Psi}(t)$$

•  $\Psi(t) = t^2 \Rightarrow \dot{\Psi}(t) = 2t$

•  $\Psi(t) = e^{\alpha t} \Rightarrow \dot{\Psi}(t) = \alpha e^{\alpha t}$

oder:  $\hat{A} = \frac{\partial}{\partial x}, \frac{\partial^2}{\partial x^2}, \dots$

○ auch:  $\hat{A} = x$  oder allgemein  $\hat{A} = f(x)$

$$\Rightarrow \hat{A}\Psi = x\Psi(x) = \Psi(x)$$

$$\text{oder } \hat{A}\Psi = f(x)\Psi(x) = \Psi(x)$$

### lineare Operatoren:

sei  $\hat{A}\Psi_1 = \Psi_1$  und  $\hat{A}\Psi_2 = \Psi_2$  ;  $c_1, c_2 \in \mathbb{C}$

$\hat{A}$  heißt linearer Operator falls

$$\hat{A}(c_1\Psi_1 + c_2\Psi_2) = c_1\Psi_1 + c_2\Psi_2$$

Beispiele für lineare Operatoren:

$$\hat{A} = x, \frac{\partial}{\partial x}, \Delta, \dots$$

z.B.  $\frac{\partial}{\partial x} (c_1 \psi_1 + c_2 \psi_2) = \underbrace{c_1 \frac{\partial}{\partial x} \psi_1}_{=\psi_1} + \underbrace{c_2 \frac{\partial}{\partial x} \psi_2}_{=\psi_2}$  ✓

### Rechnen mit Operatoren

-gegeben: Operatoren  $\hat{A}$  und  $\hat{B}$

i)  $\hat{C} = \hat{A} + \hat{B}$  ebenfalls ein Operator

↳ Achtung! Operator-Gleichung

für  $\hat{C}$  gilt:  $\hat{C}\psi = (\hat{A} + \hat{B})\psi = \hat{A}\psi + \hat{B}\psi$

ii)  $\hat{C} = c\hat{A}$  mit  $c \in \mathbb{C}$

iii)  $\hat{C} = \hat{A}\hat{B}$

$$\sim \hat{C}\psi = c\hat{A}\psi = c\psi$$

$\underbrace{\phantom{c\hat{A}}}_{= \psi}$

iv)  $\hat{C} = \hat{A}\hat{B}$

$$\Rightarrow \hat{C}\psi = \hat{A}\hat{B}\psi = \hat{A}\underbrace{(\hat{B}\psi)}_{=\psi} = \hat{A}\psi$$

Achtung: Operator  $\hat{B}$  wirkt zuerst auf  $\psi$ , danach  
wirkt  $\hat{A}$  auf  $\psi = \hat{B}\psi$

d.h. Reihenfolge ist wichtig

Beispiel:  $\hat{A} = x$ ;  $\hat{B} = \frac{\partial}{\partial x}$ ;  $\psi = \psi(x)$

$$\hat{A} \hat{B} \psi = \times \underbrace{\left( \frac{\partial}{\partial x} \psi(x) \right)}_{= \psi(x)} = \times \psi(x)$$

Reihenfolge vertauschen:

$$\hat{B} \hat{A} \psi = \frac{\partial}{\partial x} (\times \psi(x)) = \underset{\substack{\uparrow \\ \text{Produktregel}}}{\times} \frac{\partial}{\partial x} \psi(x) + \psi(x) = \times \psi(x) + \psi(x)$$

$$\Rightarrow \hat{A} \hat{B} \psi \neq \hat{B} \hat{A} \psi \quad (\text{in diesem Beispiel})$$

$\hat{A} \hat{B} \neq \hat{B} \hat{A}$  die Operatoren  $\hat{A}$  und  $\hat{B}$  kommutieren nicht

Frage: was ist der Unterschied zw.  $\hat{A} \hat{B}$  und  $\hat{B} \hat{A}$

formal:  $\hat{A} \hat{B} = \hat{B} \hat{A} + \hat{C}$

$$\hat{C} = \hat{A} \hat{B} - \hat{B} \hat{A} =: \underbrace{[\hat{A}, \hat{B}]}_{\text{Kommutator}}$$

[siehe auch: Math. Meth. I, Kap. III. 2 Matrizen]

für  $\hat{A} = \times$  und  $\hat{B} = \frac{\partial}{\partial x}$  gilt:

$$\begin{aligned} [\hat{A}, \hat{B}] \psi(x) &= \hat{A} \hat{B} \psi(x) - \hat{B} \hat{A} \psi(x) = \\ &= \times \psi(x) - (\times \psi(x) + \psi(x)) = - \psi(x) \end{aligned}$$

$$\Rightarrow [\hat{A}, \hat{B}] = -1 \quad ; \quad [\times, \frac{\partial}{\partial x}] = -1$$

analog:  $[\times_i, \frac{\partial}{\partial x_j}] = -\delta_{ij}$

$$[f(\vec{r}), \frac{\partial}{\partial x_j}] = -\frac{\partial}{\partial x_j} f(\vec{r})$$

$$[\times_i, \times_j] = 0$$

(siehe Übungen)

## Eigenfunktionen, Eigenwerte

[ siehe auch Math. Meth. I, Kap. III.6 Eigenvektoren, Eigenwerte ]

$$\text{sei } \hat{A} = \frac{\partial}{\partial x}, \quad \psi(x) = e^{ikx}$$

$$\Rightarrow \hat{A}\psi = \frac{\partial}{\partial x} e^{ikx} = ik \underbrace{e^{ikx}}_{= \psi(x)} = a\psi \text{ mit } a = ik$$

Definition:  $\psi$  ist Eigenfunktion zum Operator  $\hat{A}$  mit Eigenwert  $a$

falls  $\hat{A}\psi = a\psi$   $a \in \mathbb{C}$

noch ein Beispiel:

$$\hat{A} = \frac{\partial^2}{\partial x^2}, \quad \psi(x) = \sin kx$$

$$\Rightarrow \hat{A}\psi = \frac{\partial^2}{\partial x^2} \sin kx = k \frac{\partial}{\partial x} \cos kx = \underbrace{-k^2 \sin kx}_{= \text{Eigenwert } a}$$

typische Aufgabe:

gegeben sei ein Operator  $\hat{A}$ , geben Sie die Eigenfunktionen und die dazugehörigen Eigenwerte an.

z.B.  $\hat{A} = \frac{\partial^2}{\partial x^2}$ , Eigenfunktionen  $\psi_n(x)$  mit Eigenwerten  $a_n$

$$\text{d.h.} \quad \frac{\partial^2}{\partial x^2} \psi_n(x) = a_n \psi_n(x) \quad \text{Dgl!}$$

$\Rightarrow$  Lösung des Problems durch Bestimmung der Lösungen der Dgl.

Ansatz:  $\psi_n(x) = \sin k_n x \quad [\text{allg. } e^{ikx}]$

$$\Rightarrow -k_n^2 = a_n$$

$$\text{oder } \psi_n(x) = e^{k_n x}$$

$$\Rightarrow k_n^2 = a_n$$

Spektrum der möglichen Eigenwerte  $a_n$

in diesem Fall :  $k_n$  beliebig

$\Rightarrow$  jede Wert von  $a_n \in \mathbb{R}$  ist möglich  $\Rightarrow$  kontinuierliches Spektrum

diskretes Spektrum : bei zusätzlichen Randbedingungen für die  $\psi_n(x)$

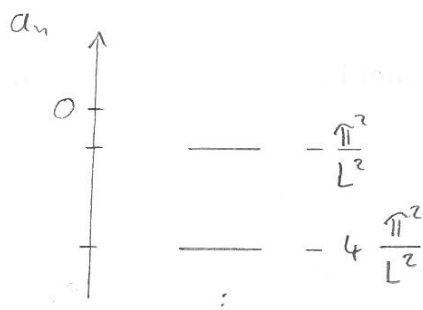
$$\text{z.B. } \psi_n(0) = 0 \quad \& \quad \psi_n(L) = 0$$

$\Rightarrow e^{k_n x}$  nicht möglich

$$\sin k_n 0 = 0 \quad \text{immer}, \quad \sin k_n L = 0 \quad \text{für } k_n = \frac{n}{L} \pi$$

$$n = 1, 2, \dots$$

$$\Rightarrow a_n = -k_n^2 = -\frac{\pi^2}{L^2} n^2$$



Annahme: das Spektrum der  $a_n$  und die dazugehörigen  $\psi_n$  seien bekannt. Wie wirkt  $\hat{A}$  auf eine beliebige Funktion  $\psi(x)$ ?

zunächst: Darstellung von  $\psi(x)$  mit Hilfe der Funktionen  $\psi_n(x)$

$$\psi(x) = \sum_n \alpha_n \psi_n(x)$$

Beispiel:  $\psi_n(x) = \sin(nx) \quad n \in \mathbb{N}$

$$\Rightarrow \psi(x) = \sum_n \alpha_n \sin(nx)$$

[ siehe Math. Meth. I , Kap VI.1 Fourier-Reihe ]

Randbedingungen: hier  $\psi_n(0) = \psi_n(\pi) = 0$

und es gilt  $\alpha_n = \frac{1}{\pi} \int_0^{\pi} \psi(x) \sin(nx) dx$

d.h. die  $\alpha_n$  lassen sich aus  $\psi(x)$  berechnen

$$\begin{aligned} \text{jetzt: } \hat{A} \psi(x) &= \hat{A} \sum_n \alpha_n \psi_n(x) = (\hat{A} \text{ linear}) \\ &= \sum_n \alpha_n \underbrace{\hat{A} \psi_n(x)}_{=} = \sum_n \alpha_n a_n \psi_n(x) \\ &= \alpha_n \psi_n(x) \end{aligned}$$

i.A. gilt  $\sum_n \alpha_n \psi_n(x) \neq c \cdot \sum_n \alpha_n a_n \psi_n(x)$

d.h.  $\psi(x)$  keine Eigenfunktion zu  $\hat{A}$

### Übungen für das Ende der Vorlesung

- $[f(\vec{r}), \frac{\partial}{\partial x_j}] = ?$

( hier  $\psi = \psi(\vec{r})$ ,  $\vec{r} = (x_1, x_2, x_3)$  )

$$[f(\vec{r}), \frac{\partial}{\partial x_j}] = f(\vec{r}) \frac{\partial}{\partial x_j} - \underbrace{\frac{\partial}{\partial x_j} f(\vec{r})}_{\substack{\uparrow \\ \text{Operator-Gleichung!}}}$$

Achtung: hier die partielle Ableitung nicht ausführen;  $\psi(\vec{r})$  fehlt noch

$$[f(\vec{r}), \frac{\partial}{\partial x_j}] \psi(\vec{r}) = f(\vec{r}) \frac{\partial}{\partial x_j} \psi(\vec{r}) - \frac{\partial}{\partial x_j} f(\vec{r}) \psi(\vec{r}) = \dots$$

$$\frac{\partial}{\partial x_j} f(\vec{r}) \psi(\vec{r}) = f(\vec{r}) \frac{\partial}{\partial x_j} \psi(\vec{r}) + \psi(\vec{r}) \frac{\partial}{\partial x_j} f(\vec{r})$$

$$\text{...} = - \left( \frac{\partial}{\partial x_j} f(\vec{r}) \right) \nabla(\vec{r})$$

als Operator-Gleichung:  $[f(\vec{r}), \frac{\partial}{\partial x_j}] = - \left( \frac{\partial}{\partial x_j} f(\vec{r}) \right)$

$\uparrow$   
Bedeutung der Klammer !

Konkreter Beispiel:  $f(\vec{r}) = r$

$$\Rightarrow \frac{\partial}{\partial x_i} f(\vec{r}) = \frac{\partial}{\partial x_i} r = \frac{\partial}{\partial x_i} (x_1^2 + x_2^2 + x_3^2)^{\frac{1}{2}}$$

$$= \frac{x_i}{r}$$

als Operator-Gleichung

$$[r, \frac{\partial}{\partial x_i}] = r \underbrace{\frac{\partial}{\partial x_i}}_{\neq \frac{x_i}{r}} r - \frac{\partial}{\partial x_i} r = - \left( \frac{\partial}{\partial x_i} r \right) = - \frac{x_i}{r}$$

Ergebnis: Scherfe Pfeile

IV.3 Lösung der Schrödinger-Gleichung:  
eindimensionale Probleme

Ausgangspunkt: zeitabhängige Schrödinger-Gleichung (SG)

$$\left[ -\frac{\hbar^2}{2m} \Delta + V(\vec{r}, t) \right] \bar{\psi}(\vec{r}, t) = i\hbar \frac{\partial}{\partial t} \bar{\psi}(\vec{r}, t)$$

mit  $\Delta = \frac{\partial^2}{\partial x^2} + \frac{\partial^2}{\partial y^2} + \frac{\partial^2}{\partial z^2}$

speziell: zeitunabhängiges Potential  $V(\vec{r})$

⇒ Produktansatz  $\bar{\psi}(\vec{r}, t) = \psi(\vec{r}) f(t)$

einsetzen in SG:

$$-\frac{\hbar^2}{2m} \underbrace{\Delta (\psi(\vec{r}) f(t))}_{= f(t) \Delta \psi(\vec{r})} + V(\vec{r}) \psi(\vec{r}) f(t) = i\hbar \underbrace{\frac{\partial}{\partial t} (\psi(\vec{r}) f(t))}_{= \psi(\vec{r}) f'(t)} \quad \left| \cdot \frac{1}{\psi f} \right.$$

$$\underbrace{-\frac{\hbar^2}{2m} \frac{\Delta \psi}{\psi}}_{= E} + V(\vec{r}) = i\hbar \underbrace{\frac{f'(t)}{f(t)}}_{= E}$$

⇒ zwei Dgl

(I)  $i\hbar f'(t) = E f(t)$

(II)  $\underbrace{\left[ -\frac{\hbar^2}{2m} \Delta + V(\vec{r}) \right]}_{= H} \psi(\vec{r}) = E \psi(\vec{r})$

⇒  $H \psi = E \psi$

zeitunabhängige SG

Lösung von (I) :

$$f(t) = e^{-i\omega t} \quad \text{mit } E = \hbar\omega$$

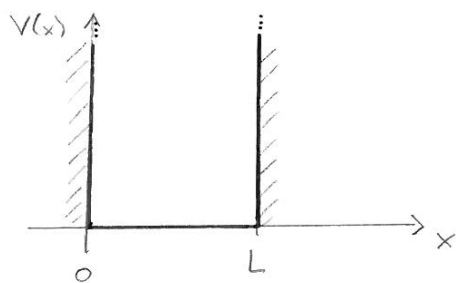
aber: (II) weiterhin partielle Dgl für  $\psi(\vec{r})$

Schwierigkeit der Lösung hängt von  $V(\vec{r})$  ab

im Folgenden : eindimensionale Probleme  
d.h.  $V = V(x)$

### A, unendlich hoher Potentialtopf

Sei  $V(x) = \begin{cases} 0 & \text{für } 0 < x < L \\ \infty & \text{sonst} \end{cases}$



zu lösen ist

$$\left[ -\frac{\hbar^2}{2m} \frac{\partial^2}{\partial x^2} + V(x) \right] \psi(x) = E \psi(x)$$

Aufteilung des Problems:

i, Innenbereich  $\rightarrow V(x) = 0$

$$\Rightarrow -\frac{\hbar^2}{2m} \frac{\partial^2}{\partial x^2} \psi(x) = E \psi(x)$$

d.h. Lösungen z.B. von der Form

$$\psi(x) = A \sin kx$$

$$\frac{\partial^2}{\partial x^2} \psi(x) = -k^2 A \sin kx = -k^2 \psi(x)$$

und damit:

$$\frac{\hbar^2 k^2}{2m} = E$$

wie für freie Teilchen

ii, Außenbereich  $\rightarrow V(x) = \infty$

es muß gelten  $\psi(x) = 0$  für  $x < 0$  und  $x > L$

somit:  $V(x) \psi(x) \rightarrow \infty$

iii,  $x = 0, x = L \rightarrow$  Randbedingungen

$\psi(x)$  muß stetig sein

hie also:  $\psi(0) = 0, \psi(L) = 0$

aus den Randbedingungen folgt:

mit  $\psi(x) = A \sin kx$

$$\psi(0) = 0 \quad \checkmark$$

$$\psi(L) = A \sin kL = 0 \quad \text{für} \quad kL = n\pi \quad n = 1, 2, 3, \dots$$

$\Rightarrow$  Einschränkung der möglichen Werte für  $k$

$$k_n = \frac{n\pi}{L}$$

Spektrum der Energie-Eigenwerte

$$E_n = \frac{\hbar^2 k_n^2}{2m} = \frac{\hbar^2}{2m} \frac{\pi^2}{L^2} n^2$$

$\rightarrow$  Quantisierung!

Eigenfunktionen

$$H \psi_n(x) = E_n \psi_n(x)$$

$$\text{mit } \psi_n(x) = A_n \sin k_n x = A_n \sin\left(\frac{1}{L} n\pi x\right) \quad 0 < x < L$$

$\hookrightarrow ?$

### Bestimmung der Vorfaktoren $A_n$

→ Postulat:  $|ψ_n(x)|^2$  gibt die Aufenthaltswahrscheinlichkeit (dichte) für das Teilchen am Ort  $x$  an.

$$\Rightarrow \boxed{\int_{-\infty}^{\infty} |ψ_n(x)|^2 dx = 1} \quad \rightarrow \text{legt die } A_n \text{ fest}$$

hier:  $|A_n|^2 \int_0^L (\sin(\frac{n\pi}{L}x))^2 dx = 1$



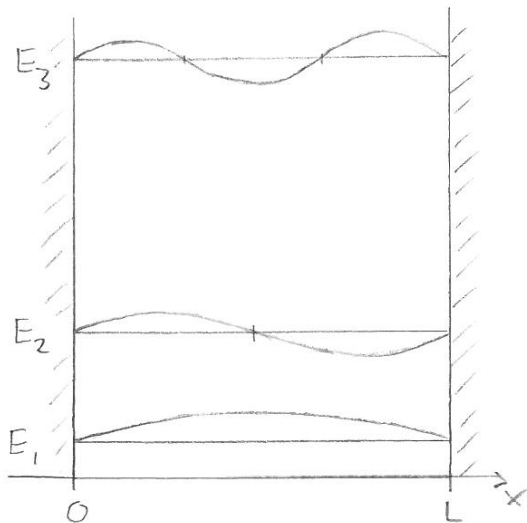
$$|A_n|^2 \cdot \frac{L}{2} = 1$$

$$\Rightarrow A_n = \sqrt{\frac{2}{L}}$$

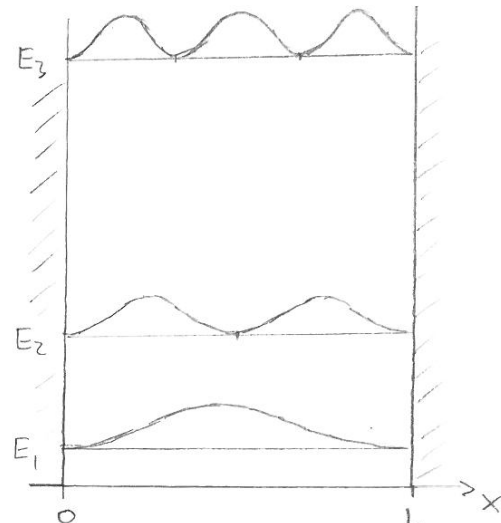
damit folgt für die normierten Eigenfunktionen,

$$\boxed{ψ_n(x) = \begin{cases} \sqrt{\frac{2}{L}} \sin\left(\frac{n\pi}{L}x\right) & 0 < x < L \\ 0 & \text{sonst} \end{cases}}$$

$$ψ_n(x)$$



$$|\psi_n(x)|^2$$



zurück zur zeitabhängigen Lösung:

$$\begin{aligned}\bar{\psi}_n(x, t) &= \psi_n(x) f_n(t) \\ &= \begin{cases} \sqrt{\frac{2}{L}} \sin\left(\frac{n\pi x}{L}\right) e^{-i\omega_n t} & 0 < x < L \\ 0 & \text{sonst} \end{cases}\end{aligned}$$

$$\text{mit } \omega_n = \frac{E_n}{\hbar} = \frac{\hbar}{2m} \frac{\pi^2}{L^2} n^2$$

sind Lösungen der zeitabhängigen SG

$$\left[ -\frac{\hbar^2}{2m} \Delta + V(x) \right] \bar{\psi}(x, t) = i\hbar \frac{\partial}{\partial t} \bar{\psi}(x, t)$$

für die Lösungen  $\bar{\psi}_n(x, t)$  gilt

$$\begin{aligned}|\bar{\psi}_n(x, t)|^2 &= |\psi_n(x) f_n(t)|^2 = |\psi_n(x)|^2 |\underbrace{f_n(t)}_{e^{-i\omega_n t}}|^2 \\ &= e^{-i\omega_n t} \cdot e^{i\omega_n t} = 1\end{aligned}$$

$\Rightarrow$  für diese Lösungen ist die Aufenthaltswahrscheinlichkeitsdichte

$|\bar{\psi}_n(x, t)|^2$  unabhängig von der Zeit

$\Rightarrow$  sog. stationäre Lösungen der SG für ein Teilchen im Potential  $V(x)$

Konstruktion zeitabhängiger Lösungen

d.h. mit  $|\bar{\psi}(x, t)|$  abh. von  $t$

Behauptung-

Linearkombinationen der Form

$$\bar{\psi}(x, t) = \sum_{n=1}^{\infty} \alpha_n \bar{\psi}_n(x, t)$$

sind ebenfalls Lösungen der zeitabhängigen SG

Beweis:

$$\text{zu zeigen ist: } H \bar{\psi}(x,t) = i\hbar \frac{\partial}{\partial t} \bar{\psi}(x,t)$$

$$\text{mit } H = -\frac{\hbar^2}{2m} \Delta + V(x)$$

$$\rightarrow H \sum_{n=1}^{\infty} \alpha_n \bar{\psi}_n(x,t) = i\hbar \frac{\partial}{\partial t} \sum_{n=1}^{\infty} \alpha_n \bar{\psi}_n(x,t)$$

$$\begin{aligned} \sum_{n=1}^{\infty} \alpha_n \underbrace{[H \psi_n(x)] f_n(t)} &= \sum_{n=1}^{\infty} \alpha_n \psi_n(x) \underbrace{i\hbar \frac{\partial}{\partial t} f_n(t)} \\ &= E_n \psi_n(x) \quad \checkmark \\ &\quad \underbrace{i\hbar (-i\omega_n) f_n(t)} \\ &= E_n \end{aligned}$$

Konkrete Beispiel:

$$\alpha_1 = 1, \alpha_2 = 1, \text{ alle anderen } \alpha_n = 0$$

$$\Rightarrow \bar{\psi}(x,t) = \bar{\psi}_1(x,t) + \bar{\psi}_2(x,t)$$

$$= \psi_1(x) f_1(t) + \psi_2(x) f_2(t)$$

$$= \begin{cases} \sqrt{\frac{2}{L}} \left[ \sin\left(\frac{\pi x}{L}\right) \exp\left[-i\frac{\hbar}{2m} \frac{\pi^2}{L^2} t\right] + \sin\left(\frac{2\pi x}{L}\right) \times \right. \\ \left. \times \exp\left[-i\frac{\hbar}{2m} \frac{4\pi^2}{L^2} t\right] \right] & 0 < x < L \\ 0 & \text{sonst} \end{cases}$$

Aufenthaltswahrscheinlichkeit für diese Lösung

(Achtung: Normierung fehlt noch)

$$\rightarrow |\bar{\psi}(x,t)|^2 = \propto \frac{2}{L} \left| \sin\left(\frac{\pi x}{L}\right) e^{-i\omega_1 t} + \sin\left(\frac{2\pi x}{L}\right) e^{-i\omega_2 t} \right|^2$$

↑ aus der Normierung

$$\begin{aligned}
 &= \alpha \frac{2}{L} \underbrace{\left| e^{-i\omega_1 t} \right|^2}_{=1} \left| \sin\left(\frac{\pi x}{L}\right) + \sin\left(\frac{2\pi x}{L}\right) e^{-3i\omega_1 t} \right|^2 \\
 &= \alpha \frac{2}{L} \left| \sin\left(\frac{\pi x}{L}\right) + \sin\left(\frac{2\pi x}{L}\right) (\cos 3\omega_1 t - i \sin 3\omega_1 t) \right|^2 \\
 &= \alpha \frac{2}{L} \left\{ \left[ \sin^2\left(\frac{\pi x}{L}\right) + \sin^2\left(\frac{2\pi x}{L}\right) \cos 3\omega_1 t \right]^2 + \left[ \sin\left(\frac{2\pi x}{L}\right) \sin 3\omega_1 t \right]^2 \right\} \\
 &= \alpha \frac{2}{L} \left\{ \sin^2\left(\frac{\pi x}{L}\right) + 2 \sin\left(\frac{\pi x}{L}\right) \sin\left(\frac{2\pi x}{L}\right) \cos 3\omega_1 t + \sin^2\left(\frac{2\pi x}{L}\right) \right\}
 \end{aligned}$$

→ Anfangswahrscheinlichkeit ist zeitabhängig

⇒ zeitabh. SG beschreibt die Dynamik der Wellenfunktion eines Teilchens in einem Potential  $V(\vec{r})$

Weiter mit:

IV.3 A → unendlich hoher Potentialtopf

bis jetzt: Lösung der zeitunabhängigen SG

$$\left[ -\frac{\hbar^2}{2m} \frac{\partial^2}{\partial x^2} + V(x) \right] \psi_n(x) = E_n \psi_n(x)$$

mit  $V(x) = \begin{cases} 0 & \text{für } 0 < x < L \\ \infty & \text{sonst} \end{cases}$

mit den Randbedingungen  $\psi_n(0) = \psi_n(L) = 0$  folgt für die normierten Eigenfunktionen

$$\psi_n(x) = \begin{cases} \sqrt{\frac{2}{L}} \sin\left(\frac{n\pi}{L}x\right) & \text{für } 0 < x < L \\ 0 & \text{sonst} \end{cases}$$

Eigenenergien:  $E_n = \frac{\hbar^2 \pi^2}{2m L^2} n^2$

### Postulate der Quantenmechanik (eine Auswahl)

1. der Zustand eines Systems (z.B. ein Teilchen in einem Potential  $V$ )

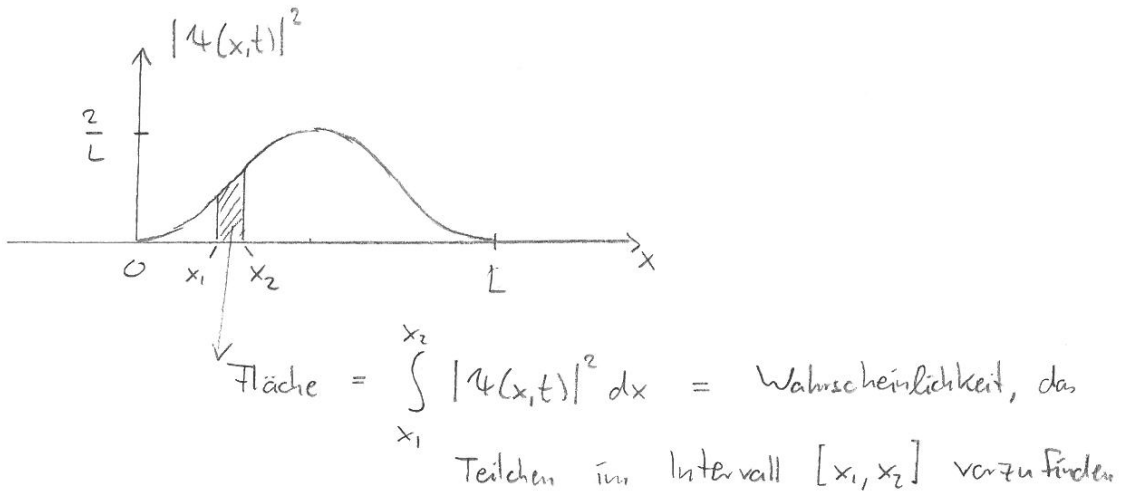
wird durch eine Wellenfunktion  $\psi(\vec{r}, t)$  beschrieben,

$\oint |\psi(\vec{r}, t)|^2 d^3r$  gibt die Wahrscheinlichkeit an, das Teilchen  $\Delta r$

zur Zeit  $t$  im Volumen  $\Delta V$  zu finden

Beispiel:  $\psi(x, t) = \sqrt{\frac{2}{L}} \sin\left(\frac{\pi x}{L}\right) e^{-i\omega t}$

$$|\psi(x, t)|^2 = \frac{2}{L} \sin^2\left(\frac{\pi x}{L}\right)$$



$|\psi(x,t)|^2$ : Wahrscheinlichkeitsdichte

$$\int_{-\infty}^{\infty} |\psi(x,t)|^2 dx = 1$$

d.h.: obwohl der Zustand des Systems eindeutig bestimmt ist (durch die Angabe von  $\psi(x,t)$ ) macht die Quantenmechanik nur Wahrscheinlichkeitsaussagen !! (mehr dazu später)

2. Meßgrößen (sog. Observable) der klassischen Physik entsprechen in der Quantenmechanik Operatoren

Beispiele: Ort  $\hat{A} = x$  bzw  $\hat{A} = \vec{r}$

Impuls  $\hat{A} = \vec{p} = -i\hbar \vec{\nabla}$  bzw  $\hat{A} = p_x = -i\hbar \frac{\partial}{\partial x}$

3. die Mittelwerte der Operatoren sind im Zustand  $\psi(\vec{r},t)$  gegeben durch

$$\langle \hat{A} \rangle = \int d^3r \psi^*(\vec{r},t) \hat{A} \psi(\vec{r},t)$$

$$\text{z.B. } \langle x \rangle = \int_{-\infty}^{\infty} dx \psi^*(x, t) x \psi(x, t)$$

$$= \int_{-\infty}^{\infty} dx x \underbrace{\psi^*(x, t) \psi(x, t)}_{=} = \int_{-\infty}^{\infty} dx x |\psi(x, t)|^2$$

$$= |\psi(x, t)|^2$$

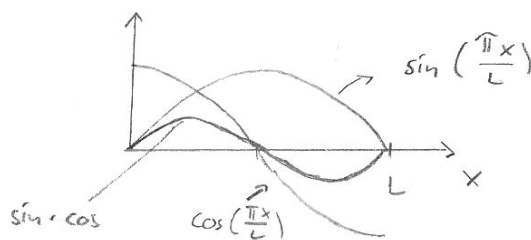
Konkretes Beispiel:

Grundzustand des unendlich hohen Potentialtopfs

d.h. stationäre Lösung mit  $n=1$

$$\Rightarrow \langle x \rangle = \int_0^L dx x \frac{2}{L} \sin^2\left(\frac{\pi x}{L}\right) \stackrel{!}{=} \frac{L}{2}$$

$$\begin{aligned} \langle p_x \rangle &= \int_0^L dx \psi^*(x, t) \left(-i\hbar \frac{\partial}{\partial x}\right) \psi(x, t) \\ &= -i\hbar \frac{2}{L} \int_0^L dx \sin\left(\frac{\pi x}{L}\right) e^{i\omega t} \frac{\partial}{\partial x} \sin\left(\frac{\pi x}{L}\right) e^{-i\omega t} \\ &= -i\hbar \frac{2}{L} \int_0^L dx \sin\left(\frac{\pi x}{L}\right) \frac{\pi}{L} \cos\left(\frac{\pi x}{L}\right) \stackrel{!}{=} 0 \end{aligned}$$



d.h. der mittlere Impuls des Teilchens in x-Richtung = 0

als nächstes: Maß für die mittlere Abweichung vom Mittelwert

Beispiel aus der Statistik: Würfel  $n = 1, 2, \dots, 6$

$$p_n = \frac{1}{6} \quad \Rightarrow \quad \sum_{n=1}^6 p_n = 1$$

$$\langle n \rangle = \sum_{n=1}^6 n p_n = \frac{1}{6} (1 + 2 + \dots + 6) = \frac{7}{2}$$

betrachte: Standardabweichung  $\sigma = \Delta n$  als Maß für die Streuung der Verteilung um den Mittelwert

$$\Delta n := \sqrt{\langle n^2 \rangle - \langle n \rangle^2}$$

$$\langle n^2 \rangle = \sum_{n=1}^6 n^2 p_n = \frac{1}{6} (1 + 4 + \dots + 36) = \frac{91}{6}$$

$$\Rightarrow \Delta n \approx \sqrt{15.2 - 12.2} = \sqrt{3} \approx 1.7$$

analog in der Quantenmechanik

$$\Delta \hat{A} = \sqrt{\langle \hat{A}^2 \rangle - \langle \hat{A} \rangle^2}$$

heißt Unscharfe

Im Folgenden: berechne Orts- und Impulsunscharfe im Grundzustand ( $\exists!$ )

→ berechne  $\langle x^2 \rangle$  und  $\langle p_x^2 \rangle$

... Resultat (siehe Übungen)

$$\Delta x = L \sqrt{\frac{1}{12} - \frac{1}{2\pi^2}}$$

$$\Delta p_x = \frac{\hbar \pi}{L}$$

betrachte das Unscharfeprodukt  $\Delta x \Delta p_x = \hbar \pi \sqrt{\frac{1}{12} - \frac{1}{2\pi^2}}$

$$\begin{aligned}
 &= \frac{\hbar}{2} \underbrace{\sqrt{\frac{\pi^2}{3} - 2}}_{\cong 1.136} \quad \text{etwas größer als } \frac{\hbar}{2}
 \end{aligned}$$

allgemein: Heisenbergsche Unschärferelation

( hier für ein Teilchen in einem eindimensionalen Potential )

für jede Wellenfunktion  $\psi(x,t)$  gilt für jede Zeit  $t$ :

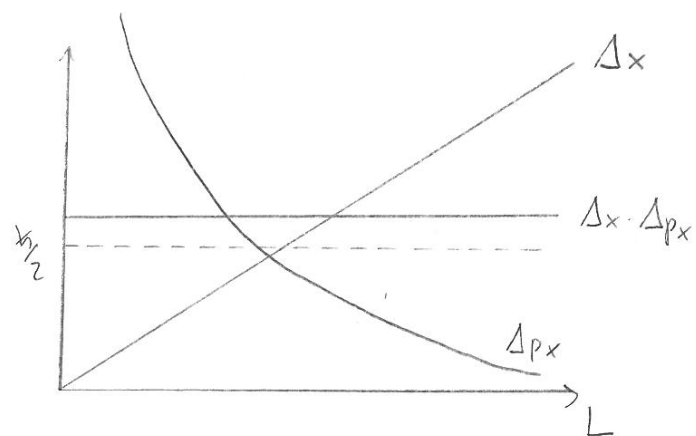
$$\boxed{\Delta x \cdot \Delta p_x \geq \frac{\hbar}{2}} \quad \text{unabh. von } V(x)$$

man sagt: „Ort und Impuls können nicht gleichzeitig beliebig scharf gemessen werden“

d.h.  $\Delta x = 0$  und gleichzeitig  $\Delta p_x = 0$  gilt nicht!

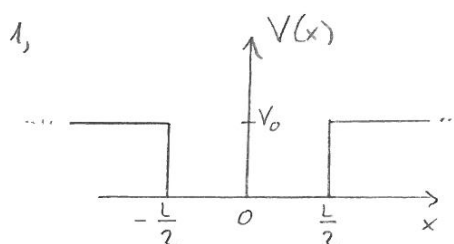
im Unterschied zur klassischen Mechanik

nochmals für den unendlich hohen Potentialtopf

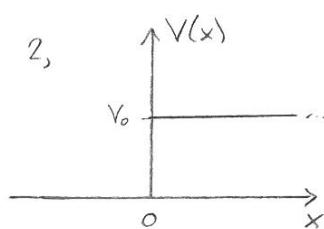


weitere eindimensionale Probleme → z.B. Rechteckpotentiale

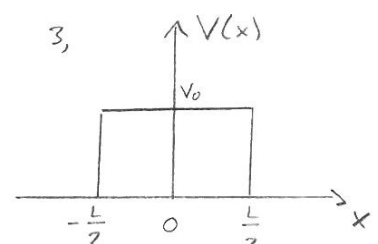
endlich hohe Potentialtopf



Potentialstufe



Potentialbarriere



$$1. \quad V(x) = \begin{cases} V_0 & x < -\frac{L}{2} \\ 0 & -\frac{L}{2} < x < \frac{L}{2} \\ V_0 & x > \frac{L}{2} \end{cases}$$

$$2. \quad V(x) = \begin{cases} 0 & x < 0 \\ V_0 & x > 0 \end{cases}$$

$$3. \quad V(x) = \begin{cases} 0 & x < -\frac{L}{2} \\ V_0 & -\frac{L}{2} < x < \frac{L}{2} \\ 0 & x > \frac{L}{2} \end{cases}$$

### allgemeine Strategie zur Lösung der zeitunabhängigen SG

1. Lösung der zeitunabhängigen SG in den Teilbereichen mit Konstanten  $V(x) = V$

$$\left[ -\frac{\hbar^2}{2m} \frac{\partial^2}{\partial x^2} + V \right] \psi(x) = E \psi(x)$$

$$-\frac{\hbar^2}{2m} \frac{\partial^2}{\partial x^2} \psi(x) + (V-E)\psi(x) = 0$$

$$\boxed{\psi''(x) + \frac{2m}{\hbar^2} (E-V) \psi(x) = 0}$$

Fallunterscheidung: i)  $E > V$

$$\Rightarrow \frac{2m}{\hbar^2} (E-V) = k^2 > 0$$

$\psi'' + k^2 \psi = 0$  hat Lösungen der Form  
 $\sin kx, \cos kx, e^{ikx}$  oszillierende Lösungen

ii)  $E < V$

$$\Rightarrow \frac{2m}{\hbar^2} (V - E) = \lambda^2 > 0$$

$\psi'' - \lambda^2 \psi = 0$  hat Lösungen der Form

$e^{\lambda x}, e^{-\lambda x} \rightarrow$  exponentiell ansteigende, bzw.  
abfallende Lösungen

u.a.  $E = V$

$$\Rightarrow \frac{2m}{\hbar^2} (E - V) = 0$$

$\psi'' = 0$  hat Lösungen der Form  $a + bx$

○

## 2. Anschlussbedingungen

z.B. für Potentialstufe

$$\psi(x) = \begin{cases} \psi_I(x) & x < 0 \\ \psi_{II}(x) & x > 0 \end{cases}$$

→ Stetigkeit der Wellenfunktion

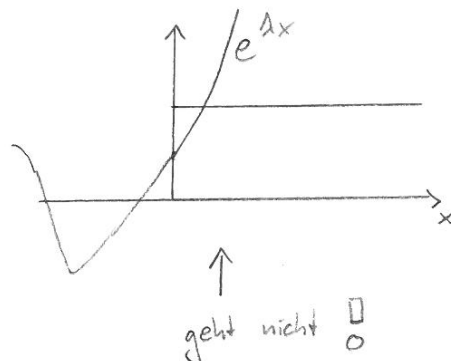
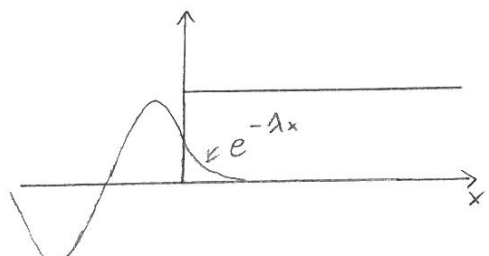
$$\psi_I(0) = \psi_{II}(0)$$

○ → Stetigkeit der Ableitung der Wellenfunktion

$$\psi'_I(0) = \psi'_{II}(0)$$

3.  $\lim_{x \rightarrow \pm\infty} \psi(x)$  endlich

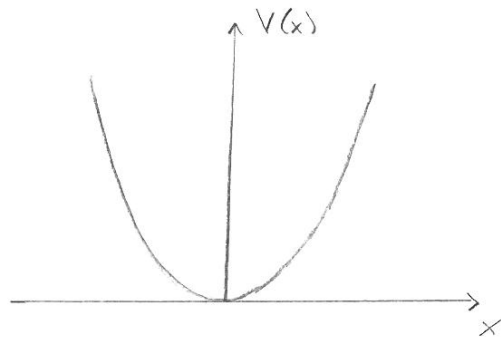
z.B.



weiter mit IV.3 Lösung der SG: eindimensionale Probleme

### C, der harmonische Oszillator

$$\text{sei } V(x) = \frac{1}{2} m \omega^2 x^2 \\ = \frac{1}{2} k x^2 \text{ mit } \omega^2 = \frac{k}{m}$$



in der klass. Mechanik  $\rightarrow$  oszillierende Lösungen  $x(t) \propto \sin \omega t$

Quantummechanik: gesucht sind die Lösungen der stationären SG

$$\left[ -\frac{\hbar^2}{2m} \frac{\partial^2}{\partial x^2} + \frac{1}{2} m \omega^2 x^2 \right] \psi(x) = E \psi(x)$$

$\hookrightarrow$  gewöhnliche Dgl. zweiter Ordnung mit nicht-konstanten Koeff.

$\rightarrow$  siehe Math. Meth. I

Kap. V.3.3. „Frobenius-Methode für den harmonischen Oszillator“

Kurze Wiederholung:

Ausatz:  $\psi(x) = u(x) e^{-\frac{x^2}{2}}$

mit  $u(x) = \sum_{n=0}^{\infty} b_n x^n$

einsetzen in die Dgl. ergibt Rekursionsrelation für die  $b_n$ :

$$b_{n+2} = \frac{1 + 2n - 2\varepsilon}{(n+2)(n+1)} b_n \quad \varepsilon = \frac{E}{\hbar \omega}$$

ergibt Lösungen der SG für beliebige E!

aber: Einschränkung der möglichen Lösungen durch die Forderung  $\int_{-\infty}^{\infty} |\psi(x)|^2 dx = 1$

geht nur, wenn Potenzreihe abbricht d.h.  $b_{n+2} = 0$  obwohl  $b_n \neq 0$

$$\Rightarrow 1 + 2n - 2\varepsilon = 0$$

$\Rightarrow$  Quantisierung der Energie

$$\boxed{E_n = \hbar\omega \left(n + \frac{1}{2}\right)} \quad n=0,1,2,\dots$$

und damit:

$$H \psi_n(x) = E_n \psi_n(x) \quad \text{mit} \quad \psi_n(x) = u_n(x) e^{-\frac{x^2}{2}}$$

und den sog. Hermite-Polynomen  $u_n(x)$

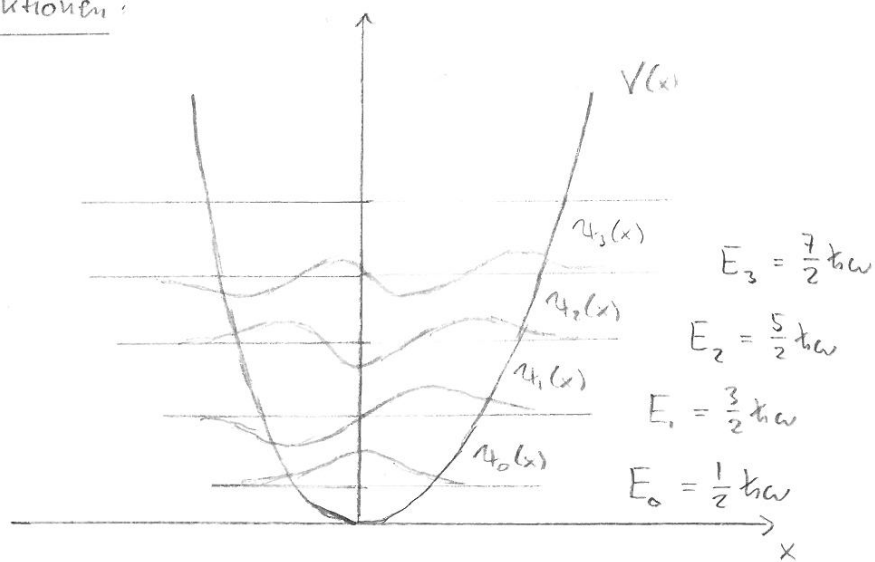
$$u_0(x) = b_0$$

$$u_1(x) = b_1 x$$

$$u_2(x) = b_0 (1 - x^2)$$

:

### Wellenfunktionen:



algebraische Methode zur Lösung des quantenmechanischen  
harmonischen Oszillators

Behauptung: der Hamiltonoperator  $H = -\frac{\hbar^2}{2m} \frac{\partial^2}{\partial x^2} + \frac{1}{2} m \omega^2 x^2$

$$= \frac{p^2}{2m} + \frac{1}{2} m \omega^2 x^2$$

lässt sich schreiben als:

$$H = \hbar \omega (a^\dagger a + \frac{1}{2})$$

mit den Operatoren

"a Kreuz"

$$a = \frac{1}{\sqrt{2m\hbar\omega}} (m\omega x + i p)$$

$$a^\dagger = \frac{1}{\sqrt{2m\hbar\omega}} (m\omega x - i p)$$

Beweis:

betrachte  $a + a^\dagger = \frac{2m\omega}{\sqrt{2m\hbar\omega}} x = \sqrt{\frac{2m\omega}{\hbar}} x$

$$a - a^\dagger = \frac{2i}{\sqrt{2m\hbar\omega}} p = \sqrt{\frac{2}{m\hbar\omega}} i p$$

$$\Rightarrow x = \sqrt{\frac{\hbar}{2m\omega}} (a + a^\dagger)$$

$$p = -i \sqrt{\frac{m\hbar\omega}{2}} (a - a^\dagger)$$

einsetzen in  $H = \frac{p^2}{2m} + \frac{1}{2} m \omega^2 x^2$

$$\begin{aligned}
 \Rightarrow H &= -\underbrace{\frac{1}{2m} \frac{m\hbar\omega}{2}}_{=\frac{1}{4}\hbar\omega} (a - a^\dagger)^2 + \underbrace{\frac{1}{2} m\omega^2 \frac{\hbar}{2m\omega}}_{=\frac{1}{4}\hbar\omega} (a + a^\dagger)^2 \\
 &= \frac{1}{4}\hbar\omega \underbrace{[-(a - a^\dagger)^2 + (a + a^\dagger)^2]}_{= -\overset{\checkmark}{aa} + \overset{\checkmark}{aa^\dagger} + \overset{\checkmark}{a^\dagger a} - \overset{\checkmark}{a^\dagger a^\dagger} + \overset{\checkmark}{aa} + \overset{\checkmark}{aa^\dagger} + \overset{\checkmark}{a^\dagger a} + \overset{\checkmark}{a^\dagger a^\dagger}} \\
 &= 2aa^\dagger + 2a^\dagger a \\
 &= \frac{1}{2}\hbar\omega (aa^\dagger + a^\dagger a)
 \end{aligned}$$

Achtung:  $aa^\dagger + a^\dagger a$  d.h.  $[a, a^\dagger] \neq 0$

Berechnung des Kommutators:

$$\begin{aligned}
 [a, a^\dagger] &= \frac{1}{2m\hbar\omega} [(m\omega x + ip), (m\omega x - ip)] \\
 &= \frac{1}{2m\hbar\omega} \left\{ \underbrace{m^2\omega^2 [x, x]}_{=0} - \underbrace{[p, p]}_{=0} - m\omega i [x, p] + m\omega i [p, x] \right\} \\
 &\quad = -[x, p] \\
 &= \frac{1}{2m\hbar\omega} \left\{ -2m\omega i [x, p] \right\} = -\frac{i}{\hbar} [x, -i\hbar \frac{\partial}{\partial x}] \\
 &= -[x, \frac{\partial}{\partial x}] = 1
 \end{aligned}$$

also  $\boxed{[a, a^\dagger] = 1}$

d.h.  $aa^\dagger - a^\dagger a = 1$

$$aa^\dagger = 1 + a^\dagger a \Rightarrow aa^\dagger + a^\dagger a = 1 + 2a^\dagger a$$

$$\Rightarrow H = \frac{1}{2} \hbar \omega (1 + 2a^\dagger a) = \hbar \omega (a^\dagger a + \frac{1}{2}) \quad \checkmark$$

Def.: Besetzungszahloperator  $\hat{n} = a^\dagger a$

damit folgt: die Lösung der stat. SG reduziert sich auf das  
Auffinden der Eigenfunktionen und Eigenwerte von  $\hat{n}$

$$\boxed{\hat{n} |4\rangle_v = v |4\rangle_v}$$

denn:  $|4\rangle_v$  sind dann auch Eigenfunktionen zu  $H$

$$\begin{aligned} H |4\rangle_v &= \hbar \omega (\hat{n} + \frac{1}{2}) |4\rangle_v = \underbrace{\hbar \omega \hat{n}}_{\hbar \omega} |4\rangle_v + \underbrace{\frac{1}{2} \hbar \omega}_{\hbar \omega} |4\rangle_v \\ &= v |4\rangle_v \\ &= \underbrace{\hbar \omega (v + \frac{1}{2})}_{= E_v} |4\rangle_v \\ &= E_v \end{aligned}$$

[ aus der Lsg der Dgl wissen wir bereits, daß  $E_n = \hbar \omega (n + \frac{1}{2}) \Rightarrow v = n$  ]

Behauptung: von  $\hat{n}$

$a^\dagger |4\rangle_v$  ist Eigenfunktion zum Eigenwert  $v+1$

$$\text{d.h. } a^\dagger |4\rangle_v = \alpha |4\rangle_{v+1}$$

Beweis:

$$\begin{aligned} \text{betrachte } \hat{n} (a^\dagger |4\rangle_v) &= a^\dagger a a^\dagger |4\rangle_v = \underbrace{a^\dagger (1 + a^\dagger a)}_{= 1 + a^\dagger a} |4\rangle_v \\ &= |4\rangle_{v+1} \end{aligned}$$

$$= a^+ \psi_v + \underbrace{a^+ a^+ a^+}_{} a^+ \psi_v = a^+ \psi_v + v a^+ \psi_v \\ = \hat{h} \psi_v = v \psi_v$$

$$= (1+v) a^+ \psi_v \quad \checkmark \\ \underbrace{\quad}_{\text{Eigenwert!}}$$

Bestimmung von  $\alpha$

Annahme: die  $\psi_v$  seien alle auf 1 normiert d.h.  $\int_{-\infty}^{\infty} dx \psi_v^*(x) \psi_v(x) = 1$

betrachte:  $\int_{-\infty}^{\infty} dx [a^+ \psi_v(x)]^* [a^+ \psi_v(x)] = (\text{ohne Beweis})$   
 $\sim \text{Übung}$

$$= \int_{-\infty}^{\infty} dx \underbrace{\psi_v^*(x) a a^+}_{} a^+ \psi_v(x) = \\ = a^+ a + 1$$

$$= \underbrace{\int_{-\infty}^{\infty} dx \psi_v^*(x) v \psi_v(x)}_{= v} + \underbrace{\int_{-\infty}^{\infty} dx \psi_v^*(x) \psi_v(x)}_{= 1}$$

$$= v + 1$$

$$\Rightarrow \psi_{v+1} = \frac{1}{\sqrt{v+1}} a^+ \psi_v \quad \text{ist auf 1 normiert}$$

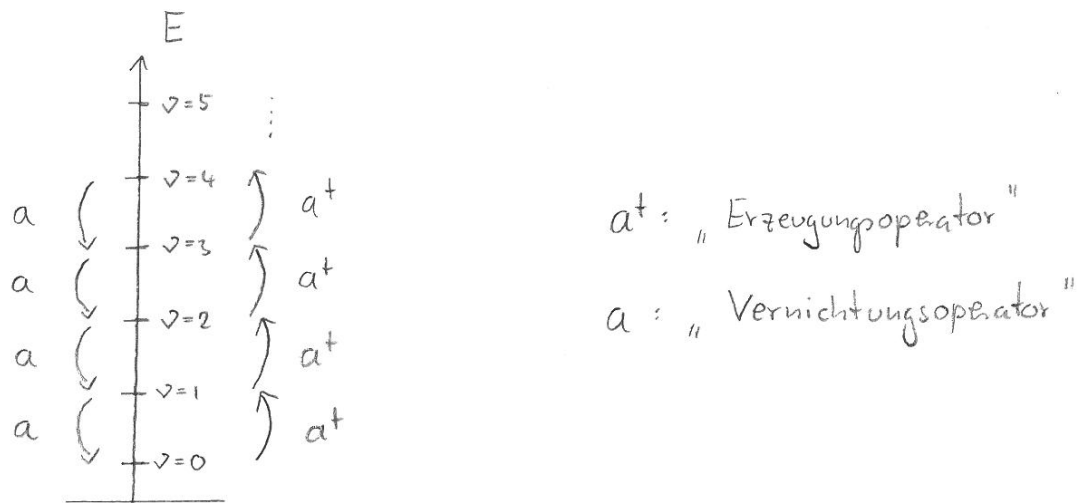
$$\boxed{a^+ \psi_v = \sqrt{v+1} \psi_{v+1}}$$

analog:  $a^- \psi_v$  ist Eigenfunktion von  $\hat{h}$  zum Eigenwert  $v-1$

$$a^+ |4\rangle_0 = \sqrt{v} |4\rangle_{v-1}$$

### Interpretation von $a^+$ und $a$

Zunächst: da kleinste  $v=0$  (z.B. aus der Lösung der Dgl.)



durch mehrfache Anwenden von  $a^+$  lassen sich alle Zustände generieren:

$$a^+ |4\rangle_0 = \sqrt{0+1} |4\rangle_1 = |4\rangle_1$$

$$a^+ a^+ |4\rangle_0 = a^+ |4\rangle_1 = \sqrt{2} |4\rangle_2$$

$$a^+ a^+ a^+ |4\rangle_0 = \sqrt{2} a^+ |4\rangle_2 = \sqrt{2} \sqrt{3} |4\rangle_3$$

⋮

$$(a^+)^n |4\rangle_0 = \underbrace{\sqrt{1} \sqrt{2} \dots \sqrt{n}}_{= \sqrt{n!}} |4\rangle_n$$

$$\Rightarrow |4\rangle_n = \frac{1}{\sqrt{n!}} (a^+)^n |4\rangle_0$$

## IV.4 Drehimpuls I

in der klass. Mechanik: Drehimpuls  $\vec{L} = \vec{\tau} \times \vec{p}$

in der Quantenmechanik:

$$\boxed{\vec{L} = \vec{\tau} \times (-i\hbar \vec{\nabla}) = -i\hbar \vec{\tau} \times \vec{\nabla}}$$

ausgeschrieben:

$$\vec{L} = -i\hbar \begin{pmatrix} x \\ y \\ z \end{pmatrix} \times \begin{pmatrix} \frac{\partial}{\partial x} \\ \frac{\partial}{\partial y} \\ \frac{\partial}{\partial z} \end{pmatrix} = -i\hbar \begin{pmatrix} y \frac{\partial}{\partial z} - z \frac{\partial}{\partial y} \\ z \frac{\partial}{\partial x} - x \frac{\partial}{\partial z} \\ x \frac{\partial}{\partial y} - y \frac{\partial}{\partial x} \end{pmatrix} = \begin{pmatrix} L_1 \\ L_2 \\ L_3 \end{pmatrix}$$

noch Kürzen:

$$L_i = -i\hbar \sum_{j,k} \epsilon_{ijk} x_j \frac{\partial}{\partial x_k}$$

$\epsilon_{ijk}$ : „der vollständig antisymmetrische Tensor dritter Stufe“

$$\epsilon_{123} = \epsilon_{231} = \epsilon_{312} = 1 \quad \text{d.h. für gerade Permutationen von } (1,2,3)$$

$$\epsilon_{321} = \epsilon_{213} = \epsilon_{132} = -1 \quad \text{--- " ungerade --- " ---}$$

$$\epsilon_{ijk} = 0 \quad \text{sonst}$$

$$\begin{aligned} \text{z.B. } L_1 &= -i\hbar \sum_{j=1}^3 \sum_{k=1}^3 \epsilon_{ijk} x_j \frac{\partial}{\partial x_k} \\ &= -i\hbar \underbrace{\epsilon_{123}}_{=1} x_2 \frac{\partial}{\partial x_3} - i\hbar \underbrace{\epsilon_{132}}_{=-1} x_3 \frac{\partial}{\partial x_2} \quad \checkmark \end{aligned}$$

es gelten die folgenden Vertauschungsrelationen

$$\boxed{\begin{aligned} [L_i, L_j] &= i\hbar \sum_k \epsilon_{ijk} L_k \\ [L_i, x_j] &= i\hbar \sum_k \epsilon_{ijk} x_k \\ [L_i, p_j] &= i\hbar \sum_k \epsilon_{ijk} p_k \end{aligned}}$$

Beispiel:

$$\begin{aligned} [L_1, L_2] &= i\hbar \sum_k \underbrace{\epsilon_{12k}}_{=1 \text{ für } k=3, =0 \text{ sonst}} L_k = i\hbar L_3 \\ &= i\hbar L_3 \end{aligned}$$

Beweis:

$$\begin{aligned} [L_1, L_2] &= \left[ -i\hbar \left( y \frac{\partial}{\partial z} - z \frac{\partial}{\partial y} \right), -i\hbar \left( z \frac{\partial}{\partial x} - x \frac{\partial}{\partial z} \right) \right] \\ &= -\hbar^2 \left[ y \frac{\partial}{\partial z} - z \frac{\partial}{\partial y}, z \frac{\partial}{\partial x} - x \frac{\partial}{\partial z} \right] \\ &= -\hbar^2 \left\{ \left[ y \frac{\partial}{\partial z}, z \frac{\partial}{\partial x} \right] - \underbrace{\left[ y \frac{\partial}{\partial z}, x \frac{\partial}{\partial z} \right]}_{=0} - \underbrace{\left[ z \frac{\partial}{\partial y}, z \frac{\partial}{\partial x} \right]}_{=0} \right. \\ &\quad \left. + \left[ z \frac{\partial}{\partial y}, x \frac{\partial}{\partial z} \right] \right\} \\ &= -\hbar^2 \left\{ y \frac{\partial}{\partial x} \underbrace{\left[ \frac{\partial}{\partial z}, z \right]}_{=1} + \frac{\partial}{\partial y} \times \underbrace{\left[ z, \frac{\partial}{\partial z} \right]}_{=-1} \right\} \\ &= \hbar^2 \left( x \frac{\partial}{\partial y} - y \frac{\partial}{\partial x} \right) = i\hbar L_3 \quad \checkmark \end{aligned}$$

(weitere Beispiele in den Übungen)

aufßerdem gilt

$$\boxed{[\vec{L}^2, L_i] = 0, \quad i=1,2,3}$$

Beweis:

$$\vec{L}^2 = L_x^2 + L_y^2 + L_z^2$$

betrachte:  $[\vec{L}^2, L_z] = [L_x^2, L_z] + [L_y^2, L_z] + \underbrace{[L_z^2, L_z]}_{=0} = \dots$

verwende:  $[AB, C] = A[B, C] + [A, C]B$

$$\dots = L_x \underbrace{[L_x, L_z]}_{-i\hbar L_y} + \underbrace{[L_x, L_z] L_x}_{-i\hbar L_y} + L_y \underbrace{[L_y, L_z]}_{i\hbar L_x} + \underbrace{[L_y, L_z] L_y}_{i\hbar L_x} = \dots = 0$$

Eigenfunktionen des Drehimpulsoperators

gesucht sind im folgenden die Eigenfunktionen und Eigenwerte von  $\vec{L}^2$  und  $L_z$

es gilt allgemein: zwei Operatoren  $\hat{A}$  und  $\hat{B}$  besitzen ein gemeinsames System von Eigenfunktionen  $\psi_{em}$  mit

$$\hat{A} \psi_{em} = a_e \psi_{em} \quad \text{und} \quad \hat{B} \psi_{em} = b_m \psi_{em}$$

falls  $[\hat{A}, \hat{B}] = 0$

Begründung:

betrachte  $[\hat{A}, \hat{B}] \psi_{em} = (\hat{A}\hat{B} - \hat{B}\hat{A}) \psi_{em}$

$$= \underbrace{\hat{A} \hat{B} \psi_{em}}_{= b_m \psi_{em}} - \underbrace{\hat{B} \hat{A} \psi_{em}}_{= a_e \psi_{em}} = \dots$$

$$= b_m \hat{A} \Psi_{\ell m} - a_e \hat{B} \Psi_{\ell m}$$

$$= (b_m a_e - a_e b_m) \Psi_{\ell m} = 0 \quad \checkmark$$

anderen formuliert: falls  $[\hat{A}, \hat{B}] \neq 0 \Rightarrow$  es kann kein gemeinsames System von Eigenfunktionen geben.

hier:  $\hat{A} = \vec{L}^2, \quad \hat{B} = L_z$

schreibe  $a_e = \hbar^2 l(l+1)$

$b_m = \hbar m$

d.h.

$$\vec{L}^2 \Psi_{\ell m} = \hbar^2 l(l+1) \Psi_{\ell m}$$

$$L_z \Psi_{\ell m} = \hbar m \Psi_{\ell m}$$

(gesucht sind also die  $\Psi_{\ell m}$  und die möglichen Werte der  $\ell, m$ )

$\vec{L}^2$  und  $L_z$  in Kugelkoordinaten

es gilt  $\vec{L}^2 = -\hbar^2 \left[ \frac{1}{\sin \vartheta} \frac{\partial}{\partial \vartheta} + \sin \vartheta \frac{\partial}{\partial \varphi} + \frac{1}{\sin^2 \vartheta} \frac{\partial^2}{\partial \varphi^2} \right] \quad (1)$

$L_z = -i\hbar \frac{\partial}{\partial \varphi} \quad (2)$

Beweis von (2)

sei  $\Psi(x, y, z)$  die Wellenfunktion in kartesischen Koordinaten  
die entsprechende WF in Kugelkoordinaten sei  $\bar{\Psi}(r, \vartheta, \varphi)$

zu beachten:  $\bar{\psi} \neq \psi$  in dem Sinne, daß

$$\bar{\psi}(a, b, c) \neq \psi(a, b, c)$$

es gilt aber:  $\bar{\psi}(r, \vartheta, \varphi) = \psi(x(r, \vartheta, \varphi), y(r, \vartheta, \varphi), z(r, \vartheta, \varphi))$  (\*)

mit  $x(r, \vartheta, \varphi) = r \sin \vartheta \cos \varphi$

$y(r, \vartheta, \varphi) = r \sin \vartheta \sin \varphi$

$z(r, \vartheta, \varphi) = r \cos \vartheta$

○ wie wirkt  $L_z = -i\hbar \frac{\partial}{\partial \varphi}$  auf  $\bar{\psi}(r, \vartheta, \varphi)$  ?

$$-i\hbar \frac{\partial}{\partial \varphi} \bar{\psi}(r, \vartheta, \varphi) = -i\hbar \frac{\partial}{\partial \varphi} \psi(x(r, \vartheta, \varphi), y(r, \vartheta, \varphi), z(r, \vartheta, \varphi)) =$$

↑  
(\*)

$$= -i\hbar \left\{ \underbrace{\frac{\partial \psi}{\partial x} \frac{\partial x}{\partial \varphi}}_{\substack{\text{Kettenregel} \\ \downarrow}} + \underbrace{\frac{\partial \psi}{\partial y} \frac{\partial y}{\partial \varphi}}_{\substack{\downarrow \\ = 0}} + \underbrace{\frac{\partial \psi}{\partial z} \frac{\partial z}{\partial \varphi}}_{\substack{\downarrow \\ = r \sin \vartheta \cos \varphi = x}} \right\} =$$

$$\begin{aligned} &= -i\hbar \left\{ -y \frac{\partial \psi}{\partial x} + x \frac{\partial \psi}{\partial y} \right\} \\ &= \underbrace{\left[ -i\hbar \left( x \frac{\partial}{\partial y} - y \frac{\partial}{\partial x} \right) \right]}_{= L_z} \psi(x, y, z) \end{aligned}$$

✓

damit ergeben sich die folgenden Dgl:

$$(1) \quad \left[ \frac{1}{\sin \vartheta} \frac{\partial}{\partial \vartheta} \sin \vartheta \frac{\partial}{\partial \vartheta} + \frac{1}{\sin^2 \vartheta} \frac{\partial^2}{\partial \varphi^2} \right] \Psi_{lm}(\vartheta, \varphi) = -l(l+1) \Psi_{lm}(\vartheta, \varphi)$$

$$(2) \quad -i \frac{\partial}{\partial \varphi} \Psi_{lm}(\vartheta, \varphi) = m \Psi_{lm}(\vartheta, \varphi)$$

jetzt also: Lösung dieser Dgl.

Separationsansatz:

$$\Psi_{lm}(\vartheta, \varphi) = \Phi(\varphi) \cdot \Theta(\vartheta)$$

○

einsetzen in (2) ergibt

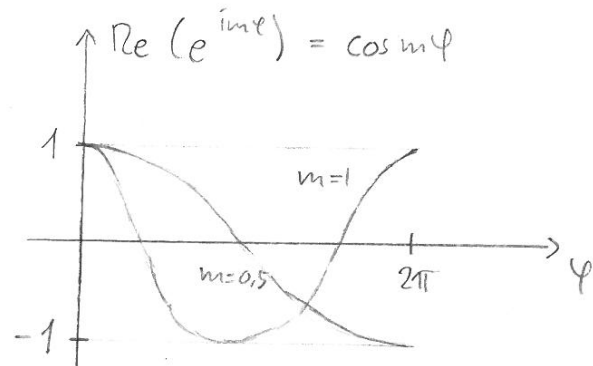
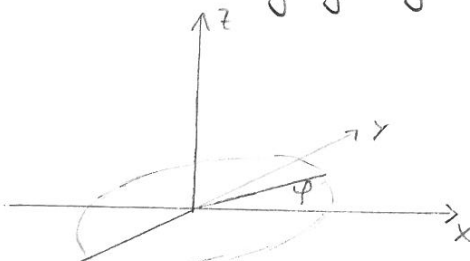
$$-i \frac{\partial}{\partial \varphi} \Phi(\varphi) \Theta(\vartheta) = m \Phi(\varphi) \Theta(\vartheta) \quad | \cdot \frac{1}{\Theta(\vartheta)}$$

$$-i \Phi'(\varphi) = m \Phi(\varphi)$$

$$\Rightarrow \boxed{\Phi(\varphi) = e^{im\varphi}}$$

○

welche Randbedingungen gibt es für  $\Phi(\varphi)$ ?



$$\Rightarrow \text{es muß gelten } \Phi(\varphi + 2\pi) = \Phi(\varphi)$$

$$\Rightarrow m \in \mathbb{Z}$$

einsetzen in (1) ergibt

$$\left[ \frac{1}{\sin \vartheta} \frac{\partial}{\partial \vartheta} \sin \vartheta \frac{\partial}{\partial \vartheta} - \frac{m^2}{\sin^2 \vartheta} + l(l+1) \right] \Theta(\vartheta) = 0$$

Lösungen:  $\rightarrow$  Legendre Polynome

und damit:

die Eigenfunktionen von  $\vec{L}^2$  und  $L_z$  sind die Kugelflächenfunktionen

$$Y_{lm}(l, \ell) = (-1)^m \sqrt{\frac{(2\ell+1)}{4\pi} \cdot \frac{(l-m)!}{(l+m)!}} P_l^m(\cos \vartheta) e^{im\phi}$$

$$\ell = 0, 1, 2, \dots$$

$$m = -\ell, -\ell+1, \dots, 0, \dots, \ell-1, \ell$$

(mehr dazu in der nächsten Vorlesung und in den Übungen)

### Aufgabe 2: Eigenfunktionen des Drehimpulsoperators; Kugelflächenfunktionen

Allgemein gilt:  $Y_{l,m}(\theta, \phi) = (-1)^{(m+|m|)/2} \left[ \frac{(2l+1)(l-|m|)!}{4\pi(l+|m|)!} \right]^{1/2} P_l^{|m|}(\theta) e^{im\phi}$  mit

$$P_l^m(\theta) = (\sin \theta)^m \left. \frac{d^m P_l(x)}{dx^m} \right|_{x=\cos \theta}, \quad \text{und} \quad P_l(x) = \frac{1}{2^l l!} \frac{d^l}{dx^l} (x^2 - 1)^l$$

- Berechnen Sie mit Hilfe dieser Formeln die Funktionen  $Y_{1,1}$ ,  $Y_{1,0}$  und  $Y_{1,-1}$ .
- Zeigen Sie analog zur Vorlesung, dass

$$\hat{L}_\pm = \hbar e^{\pm i\phi} \left( \pm \frac{\partial}{\partial \theta} + i \cot \theta \frac{\partial}{\partial \phi} \right)$$

## IV.5 Wasserstoffatom

zeitunabhängige SG für ein Teilchen der Masse  $m$  im Potential  $V(\vec{r})$ ; wobei  $V$  nur vom Betrag  $r = |\vec{r}|$  abhängt  $\rightarrow V = V(r)$

$$\left[ -\frac{\hbar^2}{2m} \Delta + V(r) \right] \psi(\vec{r}) = E \psi(\vec{r})$$

Achtung: weiterhin ein dreidimensionales Problem

$$\Delta = \frac{\partial^2}{\partial x^2} + \frac{\partial^2}{\partial y^2} + \frac{\partial^2}{\partial z^2}$$

$$\psi(\vec{r}) = \psi(x, y, z)$$

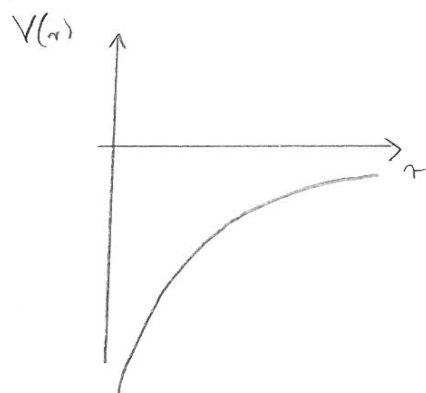
Konkretes Beispiel:

Wasserstoffatom



$e^-$  im Coulopotential des positiv geladenen Kerns (Proton)

$$V(\vec{r}) = \frac{q_1 q_2}{|\vec{r}|} = -\frac{e^2}{r} \quad (\text{Proton bei } \vec{0})$$



gesucht:

Eigenenergien und Eigenfunktionen  
für das  $e^-$

Übergang zu Kugelkoordinaten  $r, \vartheta, \varphi$

$$\psi \rightarrow \psi(r, \vartheta, \varphi)$$

$$\Delta = \frac{\partial^2}{\partial r^2} + \frac{2}{r} \frac{\partial}{\partial r}$$

$$+ \frac{1}{r^2} \left( \frac{1}{\sin \vartheta} \frac{\partial}{\partial \vartheta} \sin \vartheta \frac{\partial}{\partial \vartheta} + \frac{1}{\sin^2 \vartheta} \frac{\partial^2}{\partial \varphi^2} \right)$$

$\stackrel{!}{=} -\frac{1}{\chi^2} \vec{L}^2$

$$\Rightarrow \left[ -\frac{\chi^2}{2m} \left( \frac{\partial^2}{\partial r^2} + \frac{2}{r} \frac{\partial}{\partial r} \right) + \frac{\vec{L}^2}{2mr^2} + V(r) \right] \psi(r, \vartheta, \varphi) = E \psi(r, \vartheta, \varphi) \quad (*)$$

Separationsansatz:

$$\psi(r, \vartheta, \varphi) = R(r) Y_{\ell m}(\vartheta, \varphi)$$

einsetzen in (\*):

$$\begin{aligned} & \left[ -\frac{\chi^2}{2m} \left( \frac{\partial^2}{\partial r^2} + \frac{2}{r} \frac{\partial}{\partial r} \right) + V(r) \right] R(r) Y_{\ell m}(\vartheta, \varphi) \\ & + R(r) \underbrace{\frac{\vec{L}^2}{2mr^2} Y_{\ell m}(\vartheta, \varphi)}_{= \frac{1}{Y_{\ell m}(\vartheta, \varphi)} \cdot \frac{1}{2mr^2} \chi^2 \ell(\ell+1) Y_{\ell m}(\vartheta, \varphi)} = E R(r) Y_{\ell m}(\vartheta, \varphi) \\ & \stackrel{!}{=} \frac{1}{2mr^2} \chi^2 \ell(\ell+1) Y_{\ell m}(\vartheta, \varphi) \end{aligned}$$

$$\Rightarrow \left[ -\frac{\chi^2}{2m} \left( \frac{\partial^2}{\partial r^2} + \frac{2}{r} \frac{\partial}{\partial r} \right) + \frac{\chi^2 \ell(\ell+1)}{2mr^2} + V(r) \right] R(r) = E R(r)$$

$\Rightarrow$  gewöhnliche Dgl für den radialen Anteil  $R(r)$

Ansatz für  $R(r)$ :  $R(r) = g(r) e^{-\beta r}$

$$\text{mit } \beta^2 = -\frac{2mE}{\hbar^2}$$

$$\frac{\partial}{\partial r} g(r) e^{-\beta r} = g'(r) e^{-\beta r} - \beta g(r) e^{-\beta r}$$

$$\begin{aligned} \frac{\partial^2}{\partial r^2} g(r) e^{-\beta r} &= g''(r) e^{-\beta r} - \beta g'(r) e^{-\beta r} \\ &\quad - \beta g'(r) e^{-\beta r} + \beta^2 g(r) e^{-\beta r} \end{aligned}$$

einsetzen in Dgl für  $R(r)$

$$-\frac{\hbar^2}{2m} \left( g''(r) - 2\beta g'(r) + \beta^2 g(r) \right) + \frac{2}{r} g'(r) - \frac{2}{r} \beta g(r)$$

$$+ \frac{\hbar^2 \ell(\ell+1)}{2mr^2} g(r) + \underbrace{V(r) g(r)}_{= -\frac{e^2}{r}} = E \check{g}(r) \quad | \cdot \frac{-2m}{\hbar^2}$$

$$g''(r) - 2\left(\beta - \frac{1}{r}\right) g'(r) - 2\left(\beta - \frac{me^2}{\hbar^2}\right) \frac{1}{r} g(r) - \frac{\ell(\ell+1)}{r^2} g(r) = 0$$

Ansatz für  $g(r)$ :

$$g(r) = r^\lambda \sum_{n=0}^{\infty} a_n r^n \quad \text{mit } a_0 \neq 0$$

$$= \sum_{n=0}^{\infty} a_n r^{(n+\lambda)}$$

$$g'(\gamma) = \gamma^\lambda \sum_{n=0}^{\infty} a_n (\gamma + \lambda) \gamma^{n-1}$$

$$g''(\gamma) = \gamma^\lambda \sum_{n=0}^{\infty} a_n (\gamma + \lambda)(\gamma + \lambda - 1) \gamma^{n-2}$$

einsetzen in Dgl. für  $g(\gamma)$

$$\gamma^\lambda \sum_{n=0}^{\infty} a_n (\gamma + \lambda)(\gamma + \lambda - 1) \gamma^{n-2} - 2 \left( \beta - \frac{1}{\gamma} \right) \gamma^\lambda \sum_{n=0}^{\infty} a_n (\gamma + \lambda) \gamma^{n-1}$$

$$- 2 \left( \beta - \frac{m e^2}{\hbar^2} \right) \frac{1}{\gamma} \gamma^\lambda \sum_{n=0}^{\infty} a_n \gamma^n - \frac{\ell(\ell+1)}{\gamma^2} \gamma^\lambda \sum_{n=0}^{\infty} a_n \gamma^n = 0$$

$$\mid \cdot \frac{1}{\gamma^\lambda}$$

dann: umschreiben in  $\sum_m \alpha_m \gamma^m$

$$\text{z.B. } \text{erste Term : } \sum_{m=-2}^{\infty} a_{m+2} (m+2+\lambda)(m+1+\lambda) \gamma^m$$

ebenso für die anderen Terme

$$\Rightarrow \sum_{m=-2}^{\infty} \alpha_m \gamma^m = 0$$

geht nur wenn alle  $\alpha_m = 0$

Vorfaktor von  $\gamma^{-2}$ :

$$\alpha_{-2} = a_0 (\lambda(\lambda-1)) + 2a_0 \lambda - \ell(\ell+1) a_0 = 0 \quad \mid \cdot \frac{1}{a_0}$$

$$\Rightarrow \lambda(\lambda+1) - \ell(\ell+1) = 0$$

→ bestimmende Gleichung für  $\lambda$

$$\lambda = \begin{cases} l \\ -(l+1) \end{cases}$$

es gilt:  $l = 0, 1, 2, 3, \dots$

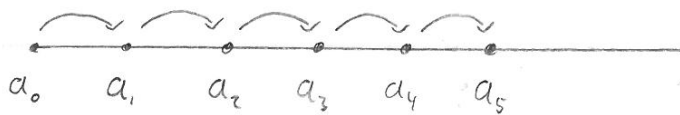
⇒ wähle Lösung mit  $\lambda = l$  (sonst:  $g(r) \rightarrow \infty$  für  $r \rightarrow 0$ )

Vorfaktor von  $r^m$  mit  $m \geq -1$ :

$$\alpha_m = a_{m+2} \left[ (m+2+l)(m+3+l) - l(l+1) \right] + a_{m+1} \left[ -2\beta(m+2+l) + 2 \frac{me^2}{h^2} \right] = 0$$

⇒ Rekursionsformel für die  $a_n$ :

$$a_n = \frac{2 \left[ \beta(n'+l) - \frac{me^2}{h^2} \right]}{(n'+l)(n'+l+1) - l(l+1)} a_{n'-1} \quad \text{für } n' \geq 1$$



Achtung:

Wellenfunktion muss normierbar sein

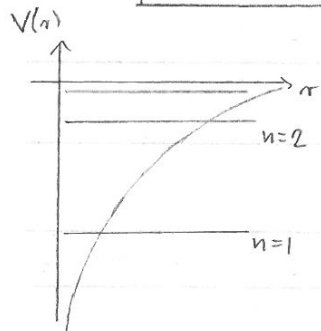
⇒ Reihe muß nach einer endlichen Anzahl von Gliedern abbrechen

$$\Rightarrow \underbrace{\beta(n'+l)}_{=: n} - \frac{me^2}{h^2} = 0$$

$$n = \frac{\sqrt{m} e^2}{\sqrt{2|E|} \hbar} \quad n = 1, 2, 3, \dots$$

$\Rightarrow$  Quantisierung der möglichen Energieniveaus

$$E_n = -\frac{me^4}{2\hbar^2} \frac{1}{n^2}, \quad n = 1, 2, 3, \dots$$



$n$  heißt Hauptquantenzahl des Wasserstoffatoms

mögliche Werte von  $l$  für feste  $n$ :

$$n = n^l + l \quad \text{mit } n^l = 1, 2, 3, \dots$$

$$l = n - n^l = n-1, n-2, \dots 0$$

$$\Rightarrow 0 \leq l \leq n-1$$

die Lösung der stationären SG lautet damit

$$\Psi_{nle}(r, \vartheta, \varphi) = R_{ne}(r) Y_{lm}(l, \vartheta, \varphi)$$

$$\text{mit } R_{ne}(r) = e^{-\beta_n r} r^l P_{ne}(r)$$

$$\beta_n = -\frac{2mE_n}{\hbar^2}$$

$$P_{ne}(r) = \sum_{v=0}^{n-l-1} a_v r^v \quad \text{Laguerre-Polynome}$$

die ersten Radialfunktionen lauten: ( $a = \frac{\hbar^2}{me^2}$ )

$$R_{10}(r) = a^{-\frac{3}{2}} 2 e^{-\frac{r}{a}}$$

$$R_{20}(r) = a^{-\frac{3}{2}} \frac{1}{\sqrt{2}} \left(1 - \frac{r}{2a}\right) e^{-\frac{r}{2a}}$$

$$R_{21}(r) = a^{-\frac{3}{2}} \frac{1}{\sqrt{6}} \frac{r}{2a} e^{-\frac{r}{2a}}$$

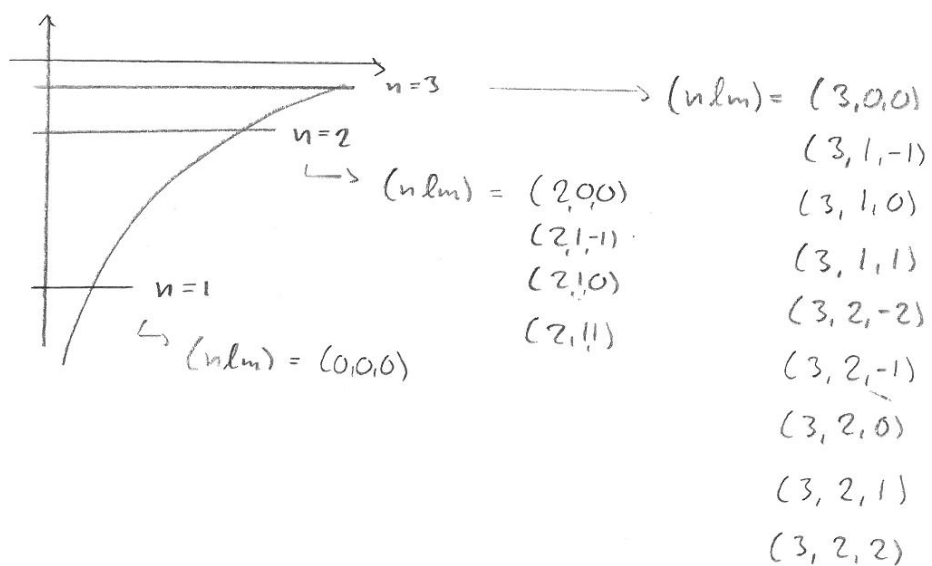
:

### Entartungsgrad der Energieniveaus $E_n$

Zu jedem  $n$  gibt es die Werte für  $l = 0, 1, 2, \dots, n-1$

Zu jedem  $l$  gibt es die  $m$ -Werte  $-l, -l+1, \dots, l$ , d.h.  $2l+1$  Werte

$$\Rightarrow \text{Entartungsgrad} = \sum_{l=0}^{n-1} (2l+1) = n^2$$



## IV.6 Dirac Notation

bisher: Lösungen der stationären SG

$$H|\psi\rangle = E|\psi\rangle$$

$\Rightarrow$  Eigenfunktionen  $|\psi(x)\rangle, |\psi(x,y,z)\rangle, |\psi(r,\vartheta,\varphi)\rangle$

d.h. Eigenfunktionen berechnet in explizite Darstellung

Operatoren: in derselben Darstellung

$$\text{z.B. } p_x = -i\hbar \frac{\partial}{\partial x}$$

$$L_z = -i\hbar \left( x \frac{\partial}{\partial y} - y \frac{\partial}{\partial x} \right)$$

$$L_z = -i\hbar \frac{\partial}{\partial \varphi}$$

im folgenden: Schreibweise, die unabhängig von der gewählten Darstellung ist:

Dirac - Notation	→	ψ⟩
------------------	---	----

also z.B.

$H \psi\rangle = E \psi\rangle$
---------------------------------

Dirac - Notation für den harmonischen Oszillator

in der Ortsdarstellung

$$H = -\frac{\hbar^2}{2m} \frac{\partial^2}{\partial x^2} + \frac{1}{2} m \omega^2 x^2$$

$$H|\psi_n(x)\rangle = E_n|\psi_n(x)\rangle$$

$$\text{mit } E_n = \hbar\omega(n + \frac{1}{2})$$

$$\Rightarrow \text{schreibe } H|\psi_n\rangle = E_n|\psi_n\rangle$$

oder noch kürzer:

$$H|n\rangle = E_n|n\rangle$$

Wirkung der Operatoren  $a, a^\dagger$ :

$$a^\dagger |\psi_n(x)\rangle = \sqrt{n+1} |\psi_{n+1}(x)\rangle \quad \hat{=} \quad a^\dagger |n\rangle = \sqrt{n+1} |n+1\rangle$$

$$a |\psi_n(x)\rangle = \sqrt{n} |\psi_{n-1}(x)\rangle \quad \hat{=} \quad a |n\rangle = \sqrt{n} |n-1\rangle$$

$$a^\dagger a |n\rangle = a^\dagger(a |n\rangle) = \underbrace{\sqrt{n}}_{= \sqrt{n} |n-1\rangle} \underbrace{a^\dagger |n-1\rangle}_{= \sqrt{n} |n\rangle} = n |n\rangle$$

$$\text{außerdem: } H = \hbar\omega(a^\dagger a + \frac{1}{2})$$

$$\Rightarrow H|n\rangle = \hbar\omega \underbrace{(a^\dagger a |n\rangle + \frac{1}{2}|n\rangle)}_{= n|n\rangle}$$

$$= \hbar\omega(n + \frac{1}{2})|n\rangle = E_n|n\rangle$$

Dirac-Notation für das Wasserstoff-atom

$$\psi_{nlm}(r, \vartheta, \varphi) \rightarrow |nlm\rangle$$

$$H|nlm\rangle = E_n|nlm\rangle \quad \text{nlm: Quantenzahlen}$$

## Rechenregeln für die $|4\rangle$

wie für  $|4(x)\rangle$ :

$$\text{z.B. } \alpha(|4_1\rangle + |4_2\rangle) = \alpha|4_1\rangle + \alpha|4_2\rangle$$

insbes. lassen sich Linearkombinationen bilden

Beispiel: sei  $|4\rangle = \sum_{n=0}^{\infty} c_n |n\rangle \quad c_n \in \mathbb{C}$

$$\begin{aligned} \text{betrachte } a^+|4\rangle &= a^+ \left( \sum_{n=0}^{\infty} c_n |n\rangle \right) \\ &= \sum_{n=0}^{\infty} c_n a^+ |n\rangle = \sum_{n=0}^{\infty} c_n \sqrt{n+1} |n+1\rangle \end{aligned}$$

## der duale Vektor $\langle 4|$

zu jedem „Vektor“  $|4\rangle$  existiert ein sog. „dualer Vektor“  $\langle 4|$

wozu braucht man diese  $\langle 4|$ ?

→ Definition des Skalarprodukts:

$$\text{sei } |a\rangle = |4_a\rangle \stackrel{\wedge}{=} 4_a(x)$$

$$|b\rangle = |4_b\rangle \stackrel{\wedge}{=} 4_b(x)$$

⇒ Skalarprodukt  $\langle a||b\rangle$  oder kürzer  $\langle a|b\rangle$

in der Ortsdarstellung:

$$\begin{aligned} \langle a|b\rangle &= \int_{-\infty}^{\infty} dx \underbrace{4_a^*(x)}_{\stackrel{\wedge}{=} \langle a|} \underbrace{4_b(x)}_{\stackrel{\wedge}{=} |b\rangle} \\ &\stackrel{\wedge}{=} \langle a|b\rangle \end{aligned}$$

speziell:

$$\langle a | a \rangle = \int_{-\infty}^{\infty} dx \underbrace{\psi_a^*(x) \psi_a(x)}_{= |\psi_a(x)|^2} = 1 \quad \text{falls } \psi_a(x) \text{ auf 1 normiert}$$

Operatoren im Skalarprodukt

$$\langle a | \hat{x} | b \rangle = \langle a | \hat{x}_b \rangle$$

mit  $|\hat{x}_b\rangle \hat{=} \hat{x} \psi_b(x) =: \psi_c(x)$

$$\Rightarrow \langle a | \hat{x} | b \rangle = \int_{-\infty}^{\infty} dx \psi_a^*(x) \psi_c(x) = \int_{-\infty}^{\infty} dx \psi_a^*(x) \hat{x} \psi_b(x)$$

Übungen: Blatt X, Aufgabe 3

a,  $\int_{-\infty}^{\infty} dx \underbrace{(\times \varphi(x))^*}_{\langle \times \varphi |} \psi(x) = \int_{-\infty}^{\infty} dx \underbrace{\varphi(x)^* (\times \psi(x))}_{\langle \varphi | \times \psi}$

$$\langle \times \varphi | \psi \rangle \quad \langle \varphi | \times \psi \rangle = \langle \varphi | \times \psi \rangle$$

b,  $\int_{-\infty}^{\infty} dx \underbrace{(p_x \varphi(x))^*}_{\langle p_x \varphi |} \psi(x) = \int_{-\infty}^{\infty} dx \underbrace{\varphi(x)^* (\hat{p}_x \psi(x))}_{\langle \varphi | \hat{p}_x \psi}$

$$\langle p_x \varphi | \psi \rangle \quad \langle \varphi | p_x \psi \rangle = \langle \varphi | p_x \psi \rangle$$

in diesen beiden Fällen gilt offensichtlich

$$\langle \hat{A} \varphi | \psi \rangle = \langle \varphi | \hat{A} \psi \rangle$$

$$\int_{-\infty}^{\infty} dx (a^+ \psi(x))^* \psi(x) = \int_{-\infty}^{\infty} dx \psi(x)^* (a^+ \psi(x))$$

$\langle a^+ \psi | \psi \rangle$        $\langle \psi | a^+ \psi \rangle$

Definition:  $A^+$  heißt „zu  $A$  adjungierter Operator“ wenn gilt

$$\langle A^+ \psi | \psi \rangle = \langle \psi | A \psi \rangle$$

$$\int_{-\infty}^{\infty} dx (A^+ \psi(x))^* \psi(x) = \int_{-\infty}^{\infty} dx \psi(x)^* (A^+ \psi(x))$$

Beispiel:  $(a)^+ = a^+$ ; d.h.  $a^+$  ist der zu  $a$  adj. Operator

$$(a^+)^+ = a$$

Definition: der Operator  $A$  heißt hermitesch (auch selbstadjungiert), wenn  $A^+ = A$

$$\text{d.h. } \langle A \psi | \psi \rangle = \langle \psi | A \psi \rangle$$

Beispiele:  $x, p_x$

$$\text{ebenso } x^2, p_x^2$$

sowie Summen hermitischer Operatoren,

$\Rightarrow$  der Hamiltonoperator  $H$  ist hermitesch!

$$\langle \psi | H | \psi \rangle = \langle \psi | H | \psi \rangle = \langle H \psi | \psi \rangle$$

als Anwendung dieser Eigenschaft von  $H$ :

Beweis der folgenden Aussage:

Sei  $H|n\rangle = E_n|n\rangle$  mit  $E_n \neq E_m$  für  $n \neq m$

(gilt z.B. für den harmonischen Osz.)

dann gilt

$$\boxed{\langle n|m \rangle = \delta_{nm}}$$

$n=m$ :  $\langle n|n \rangle = 1$

d.h. Zustände sind normiert

$n \neq m$ :  $\langle n|m \rangle = 0$

betrachte  $\langle n|H|m \rangle = \underbrace{\langle n|H_m \rangle}_{\langle n|E_m m \rangle} = \underbrace{\langle Hn|m \rangle}_{\langle E_n n|m \rangle}$

$$\hookrightarrow \langle n|E_m m \rangle = \langle E_n n|m \rangle$$

$$\underbrace{(E_m - E_n)}_{\neq 0} \underbrace{\langle n|m \rangle}_{=0} = 0 \quad \checkmark$$

zum Abschluß noch ein paar Beweise:

Behauptung: sei  $A$  ein hermitescher Operator

$$\Rightarrow A^2 = AA \text{ ist ebenfalls hermitesch}$$

$$\text{d.h. } \langle A^2 \psi | \psi \rangle = \langle \psi | A^2 \psi \rangle$$

$$\underline{\text{Beweis:}} \quad \langle \psi | A^2 \psi \rangle = \langle \psi | AA\psi \rangle = \langle \psi | \underbrace{A|A\psi}_{=|\bar{\psi}\rangle} \rangle$$

$$= \langle \psi | A \bar{\psi} \rangle = \langle A\psi | \bar{\psi} \rangle = \langle A\psi | \underbrace{A\psi}_{=|\bar{\psi}\rangle} \rangle =$$

↑  
A hermitesch

$$\circlearrowleft = \langle \bar{\psi} | A \psi \rangle = \langle A \bar{\psi} | \psi \rangle = \langle A A \bar{\psi} | \psi \rangle = \langle A^2 \psi | \psi \rangle$$

$$\underline{\text{Behauptung:}} \quad (AB)^+ = B^+ A^+$$

$$\text{d.h. } \langle \psi | AB \psi \rangle = \langle B^+ A^+ \psi | \psi \rangle = \langle (AB)^+ \psi | \psi \rangle$$

Beweis:

$$\langle \psi | AB \psi \rangle = \langle A^+ \psi | B \psi \rangle = \langle B^+ A^+ \psi | \psi \rangle \quad \checkmark$$

## IV, 7 Störungstheorie

bis jetzt: exakte Lösung der SG für

- Potentialtopf
- harmonische Oszillatoren
- Wasserstoffatom

aber: in vielen Fällen ist eine exakte Lösung nicht möglich bzw.  
sehr schwierig

$$\text{z.B.: } H = \underbrace{-\frac{\hbar^2}{2m} \frac{\partial^2}{\partial x^2}}_{\text{harm. Oszillator}} + \underbrace{\frac{1}{2} m \omega^2 x^2}_{\text{"Störung", } \lambda \in \mathbb{R}} + \lambda \frac{m^2 \omega^3}{\hbar} x^4$$

Ausweg: näherungsweise Lösung der SG

Im Folgenden: zeitunabhängige Störungstheorie

für kleine Störungen, d.h.  $\lambda \ll 1$

allgemein: der Hamilton-Operator bestehe aus zwei Anteilen

$$H = H_0 + \lambda H_1$$

Eigenwerte  $E_n^0$  und Eigenfunktionen  $|n^0\rangle$  von  $H_0$  seien

exakt bekannt:

$$H_0 |n^0\rangle = E_n^0 |n^0\rangle$$

gesucht sind die Eigenwerte  $E_n$  und Eigenfunktionen,  $|n\rangle$  von  $H$ :

$$H|n\rangle = E_n|n\rangle$$

Annahme:  $E_n$  und  $|n\rangle$  lassen sich als Potenzreihe in  $\lambda$  darstellen,

$$\boxed{\begin{aligned} E_n &= E_n^0 + \lambda E_n^1 + \lambda^2 E_n^2 + \dots \\ |n\rangle &= |n^0\rangle + \lambda |n^1\rangle + \lambda^2 |n^2\rangle + \dots \end{aligned}}$$

Einsetzen in die SG  $H|n\rangle = E_n|n\rangle$ :

$$\begin{aligned} &(H_0 + \lambda H_1)(|n^0\rangle + \lambda |n^1\rangle + \lambda^2 |n^2\rangle + \dots) \\ &= (E_n^0 + \lambda E_n^1 + \lambda^2 E_n^2 + \dots)(|n^0\rangle + \lambda |n^1\rangle + \lambda^2 |n^2\rangle + \dots) \end{aligned}$$

Sortieren nach Potenzen von  $\lambda$ :

$$\begin{aligned} &\lambda^0 [H_0|n^0\rangle] + \lambda^1 [H_0|n^1\rangle + H_1|n^0\rangle] + \lambda^2 \dots \\ &= \lambda^0 [E_n^0|n^0\rangle] + \lambda^1 [E_n^0|n^1\rangle + E_n^1|n^0\rangle] + \lambda^2 \dots \end{aligned}$$

muß für beliebige  $\lambda$  gelten

$$\Rightarrow \lambda^0: H_0|n^0\rangle = E_n^0|n^0\rangle \quad \text{gilt nach Voraussetzung}$$

$$\lambda^1: H_0|n^1\rangle + H_1|n^0\rangle = E_n^0|n^1\rangle + E_n^1|n^0\rangle \quad (\text{I})$$

$$\lambda^2: H_0|n^2\rangle + H_1|n^1\rangle = E_n^0|n^2\rangle + E_n^1|n^1\rangle + E_n^2|n^0\rangle \quad (\text{II})$$

⋮

die Zustände  $|n^0\rangle$  seien normiert

$$\text{d.h. } \langle n^0 | n^0 \rangle = 1$$

die Normierung von  $|n\rangle$  kann dazu ausgenutzt werden, das Problem zu vereinfachen, d.h. anstelle von  $\langle n | n \rangle = 1$  wird gefordert

$$\boxed{\langle n^0 | n \rangle = 1}$$

$$\text{d.h. } \langle n^0 | (|n^0\rangle + \lambda |n^1\rangle + \lambda^2 |n^2\rangle + \dots) = 1$$

$$\underbrace{\langle n^0 | n^0 \rangle + \lambda \langle n^0 | n^1 \rangle + \lambda^2 \langle n^0 | n^2 \rangle + \dots}_{} = 1$$

$$\Rightarrow \langle n^0 | n^1 \rangle = 0$$

$$\langle n^0 | n^2 \rangle = 0$$

⋮

Bestimmung von  $E_n^1$

○ bilde  $\langle n^0 | \times (I)$  d.h.:

$$\underbrace{\langle n^0 | H_0 | n^1 \rangle + \langle n^0 | H_1 | n^0 \rangle}_{= 0} = \underbrace{\langle n^0 | E_n^0 | n^1 \rangle}_{\checkmark} + \underbrace{\langle n^0 | E_n^1 | n^0 \rangle}_{= E_n^1 \underbrace{\langle n^0 | n^0 \rangle}_{= 1}} = E_n^1 \cdot 0 = 0$$

$$\Rightarrow \boxed{E_n^1 = \langle n^0 | H_1 | n^0 \rangle}$$

$\hookrightarrow$  Term  $\propto \lambda^1$  in der Potenzreihe für  $E_n$

Z.B. in einer eindimensionalen Ortsdarstellung:

$$E_n^1 = \int_{-\infty}^{\infty} dx (4_n^0(x))^* H_1 4_n^0(x) \quad \text{Konkrete Beispiele später}$$

Bestimmung von  $|n^1\rangle$

bilde  $\langle m^0 | \times (I)$  mit  $m \neq n$ ; d.h.

$$\underbrace{\langle m^0 | H_0 | n^1 \rangle + \langle m^0 | H_1 | n^1 \rangle}_{= E_n^0 \langle m^0 | n^1 \rangle} = \underbrace{\langle m^0 | E_n^0 | n^1 \rangle}_{= E_n^1 \langle m^0 | n^0 \rangle} + \underbrace{\langle m^0 | E_n^1 | n^0 \rangle}_{= 0}$$

$$= E_m^0 \langle m^0 | n^1 \rangle$$

$$\Rightarrow \langle m^0 | n^1 \rangle (E_m^0 - E_n^0) + \langle m^0 | H_1 | n^1 \rangle = 0$$

$$\langle m^0 | n^1 \rangle = \frac{\langle m^0 | H_1 | n^0 \rangle}{E_n^0 - E_m^0} \quad \text{falls } E_n^0 \neq E_m^0$$

Behauptung: aus dieser Gleichung folgt

$$\boxed{|n^1\rangle = \sum_{m \neq n} \frac{\langle m^0 | H_1 | n^0 \rangle}{E_n^0 - E_m^0} |m^0\rangle} *$$

$\hookrightarrow$  Term  $\propto \lambda^1$  in der Potenzreihe für  $|n\rangle$

Beweis: Schreibe

$$|n^1\rangle = \sum_{\bar{m} \neq n} \frac{\langle \bar{m}^0 | H_1 | n^0 \rangle}{E_n^0 - E_{\bar{m}}^0} |\bar{m}^0\rangle, \quad \text{von links mit } \langle m^0 |$$

und  $m \neq n$

$$\langle m^0 | n^1 \rangle = \sum_{\bar{m} \neq n} \frac{\langle \bar{m}^0 | H_1 | n^0 \rangle}{E_n^0 - E_{\bar{m}}^0} \underbrace{\langle m^0 | \bar{m}^0 \rangle}_{= \delta_{n\bar{m}}} \\ = \delta_{n\bar{m}}$$

$$= \frac{\langle m^0 | H_1 | n^0 \rangle}{E_n^0 - E_m^0} \quad \checkmark$$

Bestimmung von  $E_n^2$

bilde  $\langle n^0 | \times (\text{II})$  d.h.:

$$\underbrace{\langle n^0 | H_0 | n^2 \rangle + \langle n^0 | H_1 | n^1 \rangle}_{= 0} = \langle n^0 | E_n^0 | n^2 \rangle + \langle n^0 | E_n^1 | n^1 \rangle \\ + \langle n^0 | E_n^2 | n^0 \rangle$$

rechte Seite:  $E_n^0 \underbrace{\langle n^0 | n^2 \rangle}_{= 0} + E_n^1 \underbrace{\langle n^0 | n^1 \rangle}_{= 0} + E_n^2 \underbrace{\langle n^0 | n^0 \rangle}_{= 1}$

linke Seite:  $\langle n^0 | H_1 | n^1 \rangle$

$$\Rightarrow E_n^2 = \underbrace{\langle n^0 | H_1 | n^1 \rangle}_{= \sum_{m \neq n} \frac{\langle m^0 | H_1 | n^0 \rangle}{E_n^0 - E_m^0} |m^0\rangle}$$

$$= \sum_{m \neq n} \frac{\langle m^o | H_i | n^o \rangle}{E_n^o - E_m^o} \underbrace{\langle n^o | H_i | m^o \rangle}_{\stackrel{!}{=} (\langle m^o | H_i | n^o \rangle)^*} = \dots$$

Nebenrechnung:

für einen hamiltonischen Operator  $\hat{A}$  gilt

$$\langle \psi | \hat{A} | \psi \rangle = (\langle \psi | \hat{A} | \psi \rangle)^*$$

Beweis:

$$\langle \psi | A | \psi \rangle = \langle A \psi | \psi \rangle = \int_{-\infty}^{\infty} dx (A \psi(x))^* \psi(x) =$$

$\uparrow$                                $\uparrow$   
 $A$  hamiltonsch                  in eindim. Ortsdarstellung

$$= \left[ \int_{-\infty}^{\infty} dx (A \psi(x)) \psi(x)^* \right]^* = \left[ \int_{-\infty}^{\infty} dx \psi(x)^* A \psi(x) \right]^* =$$

$\uparrow$                                $\uparrow$   
 $(ab^*)^* = (a^* b^*)^*$  für  $a, b \in \mathbb{C}$                    $(A \psi(x)) \psi(x)^* = \psi(x)^* A \psi(x)$

$$= \langle \psi | A | \psi \rangle^* \quad \checkmark$$

$$\dots = \boxed{\sum_{m \neq n} \frac{|\langle m^o | H_i | n^o \rangle|^2}{E_n^o - E_m^o} = E_n^2}$$

noch ein paar Bemerkungen:

- diese Art der Störungstheorie funktioniert nur für nicht-entartete Zustände, d.h. für solche  $|n^0\rangle$  mit  $E_n^0 \neq E_m^0$  für jedes  $m \neq n$ .

denn:  $|n^0\rangle$  enthält  $\frac{1}{E_n^0 - E_m^0}$

Falls Zustände entartet: verwende Störungstheorie für entartete Zustände  
 $\rightarrow$  Schwabl Kap. 11.1.2

Q.

- sei  $|n^0\rangle$  der (nicht-entartete) Grundzustand des ungestörten Systems

d.h.  $E_n^0 < E_m^0$  für jedes  $m \neq n$

$$\Rightarrow E_n^0 - E_m^0 < 0 \quad , \quad \frac{1}{E_n^0 - E_m^0} < 0$$

und mit  $|\langle m^0 | H | n^0 \rangle|^2 \geq 0$  für jede  $n, m$

folgt dann  $E_n^2 \leq 0$

weite mit IV.7. Störungstheorie

zeitabhängige Störungstheorie für den harmonischen Oszillator

der ungestörte Hamiltonoperator:

$$H_0 = -\frac{\hbar^2}{2m} \frac{\partial^2}{\partial x^2} + \frac{1}{2} m \omega^2 x^2 = \hbar \omega (a^\dagger a + \frac{1}{2})$$

es gilt:  $H_0 |n\rangle = E_n |n\rangle$

mit  $n = 0, 1, 2, \dots$  und  $E_n = \hbar \omega (n + \frac{1}{2})$

betrachte jetzt:

$$H = H_0 + \lambda H_1, \quad \text{mit } H_1 = \frac{1}{2} m \omega^2 x^2$$

$\Rightarrow \lambda H_1$  wird als kleine Störung betrachtet

Achtung: Störungstheorie eigentlich gar nicht notwendig, da

$H$  auch exakt gelöst werden kann, denn

$$H = -\frac{\hbar^2}{2m} \frac{\partial^2}{\partial x^2} + \frac{1}{2} m \underbrace{(1+\lambda) \omega^2}_{= \tilde{\omega}^2} x^2$$

$\Rightarrow$  harm. Oszillator mit Kreisfrequenz  $\tilde{\omega} = \omega \sqrt{1+\lambda}$

$\curvearrowright$  die exakten Eigenenergien sind

$$E_n = \hbar \tilde{\omega} (n + \frac{1}{2}) = \hbar \omega \sqrt{1+\lambda} (n + \frac{1}{2})$$

Frage: was folgt aus der Störungstheorie für die  $E_n^1$  und  $E_n^2$  in

$$E_n = E_n^0 + \lambda E_n^1 + \lambda^2 E_n^2 + \dots$$

es gilt:

$$\boxed{E_n^1 = \langle n^0 | H_1 | n^0 \rangle}$$

nützlich: Darstellung von  $H_1$  mit Erzeugungs- und Vernichtungsoperatoren:

$$H_1 = \frac{1}{2} m \omega^2 x^2 = \underbrace{\frac{1}{2} m \omega^2}_{\text{---}} \underbrace{\frac{\hbar}{2m\omega}}_{= \frac{1}{4}\hbar\omega} (a + a^\dagger)^2$$

$$(a + a^\dagger)^2 = (a + a^\dagger)(a + a^\dagger) = aa + aa^\dagger + a^\dagger a + a^\dagger a^\dagger$$

$$aa^\dagger = 1 + a^\dagger a = 1 + 2a^\dagger a + aa^\dagger + a^\dagger a^\dagger$$

$$\Rightarrow H_1 = \frac{1}{4}\hbar\omega (1 + 2a^\dagger a + aa^\dagger + a^\dagger a^\dagger)$$

$$\Rightarrow E_n^1 = \frac{1}{4}\hbar\omega \left[ \underbrace{\langle n^0 | 1 | n^0 \rangle}_{= 1} + 2 \langle n^0 | a^\dagger a | n^0 \rangle + \langle n^0 | aa^\dagger | n^0 \rangle + \langle n^0 | a^\dagger a^\dagger | n^0 \rangle \right]$$

$$\bullet \underbrace{\langle n^0 | a^\dagger a | n^0 \rangle}_{= \hat{n}} = n \underbrace{\langle n^0 | n^0 \rangle}_{= 1} = n$$

$$\bullet \underbrace{\langle n^0 | aa^\dagger | n^0 \rangle}_{= \sqrt{n} \langle n^0 | a | (n-1)^0 \rangle} = \underbrace{\sqrt{n} \langle n^0 | a | (n-1)^0 \rangle}_{= \sqrt{n-1} \langle (n-1)^0 |} = \underbrace{\sqrt{n-1} \langle (n-1)^0 |}_{= \sqrt{n-2} \langle (n-2)^0 |}$$

$$= \sqrt{n} \cdot \sqrt{n-1} \underbrace{\left\langle n^\circ | (n-2)^\circ \right\rangle}_{=0} = 0$$

(siehe Vorl. Nr. XXI Seite 6)

$$\bullet \left\langle n^\circ | a^+ a^- | n^\circ \right\rangle = \sqrt{n+1} \cdot \sqrt{n+2} \underbrace{\left\langle n^\circ | (n+2)^\circ \right\rangle}_{=0} = 0$$

$$\Rightarrow \boxed{E_n^1 = \frac{1}{2} \hbar \omega \left( n + \frac{1}{2} \right)}$$

d.h.  $E_n = E_n^0 + \lambda E_n^1 + \dots$

$$= \hbar \omega \left( n + \frac{1}{2} \right) + \frac{\lambda}{2} \hbar \omega \left( n + \frac{1}{2} \right) + \dots$$

$$= \hbar \omega \left( 1 + \frac{\lambda}{2} \right) \left( n + \frac{1}{2} \right) + \dots$$

$$= \hbar \omega \sqrt{1+\lambda} \left( n + \frac{1}{2} \right)$$

$\uparrow$   
exakte Ergebnis

Potenzreihenentwicklung von  $\sqrt{1+\lambda}$ :

$$\sqrt{1+\lambda} = 1 + \frac{\lambda}{2} - \frac{\lambda^2}{8} + \dots$$

d.h. da Ergebnis der Störungsrechnung mit 3 Läufen,

$$E_n = \hbar \omega \left( 1 + \frac{\lambda}{2} - \frac{\lambda^2}{8} + \dots \right) \left( n + \frac{1}{2} \right)$$

d.h.  $E_n^1 = \frac{1}{2} \hbar \omega \left( n + \frac{1}{2} \right) \quad \checkmark$

$$E_n^2 = -\frac{1}{8} \hbar \omega \left( n + \frac{1}{2} \right)$$

→ wird jetzt ausgerechnet

es gilt:

$$E_n^2 = \sum_{m \neq n} \frac{|\langle m^{\circ} | H_1 | n^{\circ} \rangle|^2}{E_n^{\circ} - E_m^{\circ}}$$

bedeute also:  $\langle m^{\circ} | H_1 | n^{\circ} \rangle$  mit  $m \neq n$

$$\langle m^{\circ} | H_1 | n^{\circ} \rangle = \frac{1}{4\hbar\omega} \left[ \underbrace{\langle m^{\circ} | 1 | n^{\circ} \rangle}_{=0} + 2 \underbrace{\langle m^{\circ} | a^{\dagger} a | n^{\circ} \rangle}_{=n \underbrace{\langle m^{\circ} | n^{\circ} \rangle}_{=0}} \right]$$

$$+ \langle m^{\circ} | a a | n^{\circ} \rangle + \langle m^{\circ} | a^{\dagger} a^{\dagger} | n^{\circ} \rangle ]$$

$$\cdot \langle m^{\circ} | a a | n^{\circ} \rangle = \underbrace{\sqrt{n} \sqrt{n-1}}_{= S_{m, n-2}} \langle m^{\circ} | (n-2)^{\circ} \rangle$$

$$\text{Achtung: } a | 0^{\circ} \rangle = \underbrace{\sqrt{0} | (-1)^{\circ} \rangle}_{=0}$$

diesen Zustand gibt's gar nicht

$$aa | 1^{\circ} \rangle = \underbrace{\sqrt{1} \sqrt{0}}_{=0} | (-1)^{\circ} \rangle = 0$$

Formel wg. Vorfaktor  $\sqrt{n} \sqrt{n-1}$  trotzdem richtig

$$\cdot \langle m^{\circ} | a^{\dagger} a^{\dagger} | n^{\circ} \rangle = \underbrace{\sqrt{n+1} \sqrt{n+2}}_{= S_{m, n+2}} \langle m^{\circ} | (n+2)^{\circ} \rangle$$

$$\Rightarrow E_n^2 = \frac{|\langle (n-2)^{\circ} | H_1 | n^{\circ} \rangle|^2}{E_n^{\circ} - E_{n-2}^{\circ}} + \frac{|\langle (n+2)^{\circ} | H_1 | n^{\circ} \rangle|^2}{E_n^{\circ} - E_{n+2}^{\circ}} = \dots$$

$$E_n^{\circ} = \hbar\omega \left(n + \frac{1}{2}\right)$$

$$\Rightarrow E_n^{\circ} - E_{n-2}^{\circ} = \hbar\omega \left(n + \frac{1}{2}\right) - \hbar\omega \left(n-2 + \frac{1}{2}\right) = 2\hbar\omega$$

$$E_n^{\circ} - E_{n+2}^{\circ} = -2\hbar\omega$$

$$|\langle (n-2)^{\circ} | H_1 | n^{\circ} \rangle|^2 = \left(\frac{1}{4}\hbar\omega \sqrt{n} \sqrt{n-1}\right)^2 = \frac{1}{16} \hbar^2 \omega^2 n(n-1)$$

$$|\langle (n+2)^{\circ} | H_1 | n^{\circ} \rangle|^2 = \frac{1}{16} \hbar^2 \omega^2 (n+1)(n+2)$$

$$\dots = \frac{1}{32} \hbar\omega \underbrace{\left[ n(n-1) - (n+1)(n+2) \right]}_{= n^2 - n - (n^2 + 3n + 2)} = -4n - 2$$

$$= -\frac{1}{8} \hbar\omega \left(n + \frac{1}{2}\right) \quad \checkmark$$

betrachte jetzt:

$H = H_0 + \lambda H_1$	mit $H_1 = \alpha X$
-------------------------	----------------------

$$\alpha = \sqrt{m\hbar\omega^3}$$

gesucht:  $E_n$  bis zur zweiten Ordnung in  $\lambda$   
 dh.  $E_n^1, E_n^2$        $\rightarrow$  siehe Übungen

Achtung: auch diese  $H$  lässt sich exakt lösen.

$$\begin{aligned}
 H &= -\frac{\hbar^2}{2m} \frac{\partial^2}{\partial x^2} + \underbrace{\frac{1}{2} m \omega^2 x^2}_{\text{harmonic potential}} + \lambda \alpha x = \dots \\
 \hookrightarrow &= \frac{1}{2} m \omega^2 \left[ x^2 + \frac{2\lambda \alpha}{m \omega^2} x \right] \\
 &= (x + x_0)^2 - c \\
 &= x^2 + 2x x_0 + x_0^2 - c \\
 \Rightarrow & x_0 = \frac{\lambda \alpha}{m \omega^2}, \quad c = x_0^2 = \left( \frac{\lambda \alpha}{m \omega^2} \right)^2 \\
 \dots &= -\frac{\hbar^2}{2m} \frac{\partial^2}{\partial x^2} + \frac{1}{2} m \omega^2 (x + x_0)^2 - \frac{1}{2} \frac{\lambda^2 \alpha^2}{m \omega^2}
 \end{aligned}$$

Substitution:  $x' = x + x_0$

$$\frac{\partial}{\partial x} = \frac{\partial}{\partial x'}$$

$$\Rightarrow \boxed{H = -\frac{\hbar^2}{2m} \frac{\partial^2}{\partial x'^2} + \frac{1}{2} m \omega^2 x'^2 - \frac{1}{2} \frac{\lambda^2 \alpha^2}{m \omega^2}}$$

aus  $H \Psi_n^0(x) = E_n^0 \Psi_n^0(x)$  folgt:

$\Psi_n(x) = \Psi_n^0(x + x_0)$  sind die Lösungen der SG

$$H \Psi_n(x) = E_n \Psi_n(x) \quad \text{mit Eigenwerten } \boxed{E_n = E_n^0 - \frac{1}{2} \frac{\lambda^2 \alpha^2}{m \omega^2}}$$

$$\boxed{E_n = E_n^0 - \frac{1}{2} \frac{\lambda^2 \alpha^2}{m \omega^2}}$$

Beweis:

$$H \Psi_n(x) = \left[ -\frac{\hbar^2}{2m} \frac{\partial^2}{\partial x^2} + \frac{1}{2} m \omega^2 (x + x_0)^2 - \frac{1}{2} \frac{\lambda^2 \alpha^2}{m \omega^2} \right] \Psi_n^0(x + x_0) = \dots$$

Substitution wie zuvor:

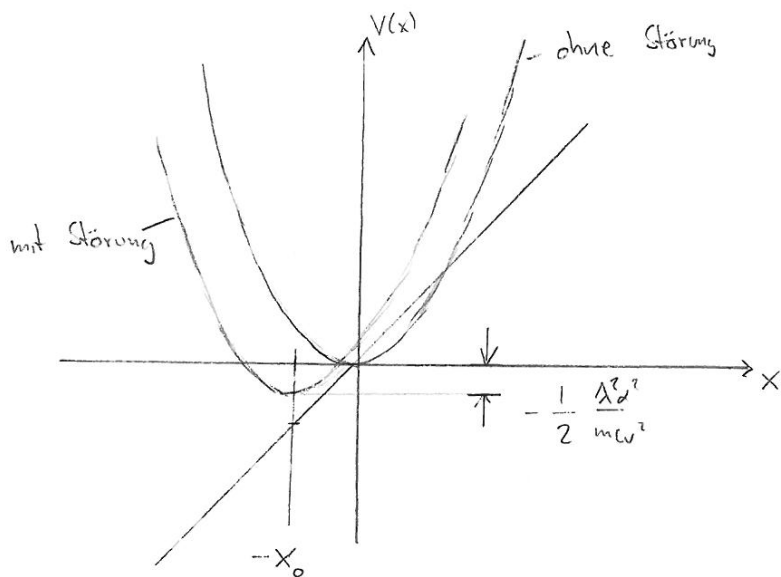
$$= \underbrace{\left[ -\frac{\hbar^2}{2m} \frac{\partial^2}{\partial x'^2} + \frac{1}{2} m \omega^2 x'^2 \right]}_{=} \Psi_n^0(x') - \frac{1}{2} \frac{\lambda^2 \alpha^2}{m \omega^2} \Psi_n^0(x')$$

$$= E_n^0 \Psi_n^0(x')$$

$$= \underbrace{\left( E_n^0 - \frac{1}{2} \frac{\lambda^2 \alpha^2}{m \omega^2} \right)}_{=} \Psi_n^0(x')$$

$$= E_n \Psi_n(x) \quad \checkmark$$

- graphisch:

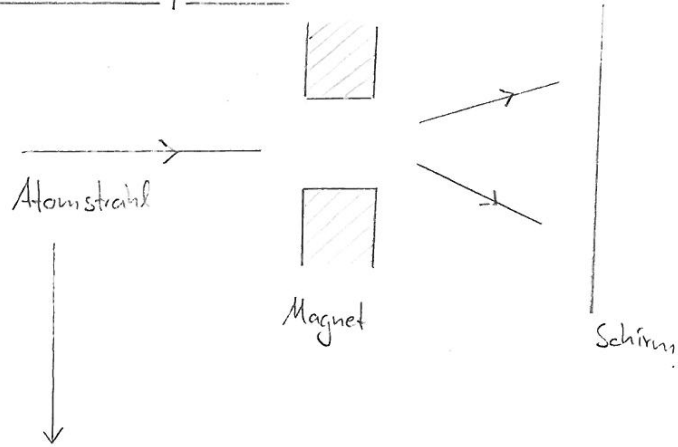


## IV.8 Drehimpuls III : Spin

Spin = „innerer“ Drehimpuls eines Teilchens

### Stern-Gerlach-Experiment

(1922)



Silberatome,  $l=0 \Rightarrow$  man erwartet keine Aufspaltung aufgrund  
der Bahndrehimpulse, d.h.  $5s\ e^-$

Aufspaltung in zwei Teilstrahlen  $\Rightarrow$  Elektron muß einen inneren Drehimpuls  
(= Spin) mit zwei möglichen Einstellungen haben

### mathematische Formulierung

$$\text{Spinoperator} \quad \vec{S} = \begin{pmatrix} S_x \\ S_y \\ S_z \end{pmatrix}$$

hat die Eigenschaften eines Drehimpuls-Operators, d.h.

Vertauschungsrelationen:  $[S_i, S_j] = i\hbar \sum_k \epsilon_{ijk} S_k$

$$\text{Def.} \quad S_+ = S_x + i S_y$$

$$S_- = S_x - i S_y$$

vgl. Blatt XI, Aufgabe 1.

$$\text{es gilt: } [S_+, S_-] = 2\hbar S_z$$

$$[S_z, S_{\pm}] = \pm \hbar S_{\pm}$$

$$\text{ausgedehnt: } [\vec{S}^2, S_i] = 0$$

### Eigenfunktionen des Spin-Operators

analog zum Drehimpulsoperator:

$$\vec{L}^2 |lm\rangle = \hbar^2 l(l+1) |lm\rangle$$

$$L_z |lm\rangle = \hbar m |lm\rangle$$

mit  $l = 0, 1, 2, \dots$

$$m = -l, -l+1, \dots +l$$

hier:  $l = \frac{1}{2}$ , "Spin  $\frac{1}{2}$ "

$$\Rightarrow m = -\frac{1}{2}, +\frac{1}{2}$$

d.h.  $\vec{S}^2 |\frac{1}{2}m\rangle = \frac{3}{4}\hbar^2 |\frac{1}{2}m\rangle$

$$S_z |\frac{1}{2}m\rangle = m\hbar |\frac{1}{2}m\rangle$$

abkürzende Schreibweise:

$$m = +\frac{1}{2}: \quad |\frac{1}{2} \frac{1}{2}\rangle = |\uparrow\rangle \quad (\text{"Spin nach oben"}) \quad (\text{up})$$

$$m = -\frac{1}{2}: \quad |\frac{1}{2} -\frac{1}{2}\rangle = |\downarrow\rangle \quad (\text{"Spin unten"}) \quad (\text{down})$$

Es gilt:  $\langle \uparrow | \uparrow \rangle = \langle \downarrow | \downarrow \rangle = 1$

$$\langle \downarrow | \uparrow \rangle = 0$$

Behauptung:

$S_+  \downarrow\rangle = \hbar  \uparrow\rangle$	,	$S_-  \uparrow\rangle = \hbar  \downarrow\rangle$
---	---	---

Beweis: es gilt  $[S_z, S_+] = \frac{\hbar}{2} S_+$

$$\Rightarrow [S_z, S_+] |\downarrow\rangle = \frac{\hbar}{2} S_+ |\downarrow\rangle$$

$$S_z S_+ |\downarrow\rangle - \underbrace{S_+ S_z |\downarrow\rangle}_{-\frac{1}{2}\hbar} = \frac{\hbar}{2} S_+ |\downarrow\rangle$$

$$= \frac{1}{2}\hbar S_+ |\downarrow\rangle$$

$$\Rightarrow \underbrace{S_z (S_+ |\downarrow\rangle)}_{\frac{1}{2}\hbar} = \underbrace{\frac{1}{2}\hbar (S_+ |\downarrow\rangle)}_{S_+ |\downarrow\rangle}$$

$\Rightarrow S_+ |\downarrow\rangle$  ist Eigenzustand zu  $S_z$  mit Eigenwert  $\frac{1}{2}\hbar$

d.h.  $S_+ |\downarrow\rangle \propto |\uparrow\rangle$

[Vorfaktor  $\hbar$  fehlt noch]

ander Schreibweise

$$|\uparrow\rangle = \begin{pmatrix} 1 \\ 0 \end{pmatrix} \quad |\downarrow\rangle = \begin{pmatrix} 0 \\ 1 \end{pmatrix}$$

$\rightarrow$  Vektoren in einem zweidimensionalen Zustandsraum

$\Rightarrow S_x, S_y, S_z$  lassen sich als  $(2 \times 2)$ -Matrizen schreiben

$$\text{z.B., } S_z = \frac{\hbar}{2} \begin{pmatrix} 1 & 0 \\ 0 & -1 \end{pmatrix}$$

$$\text{denn: } S_z |\downarrow\rangle = \frac{\hbar}{2} \begin{pmatrix} 1 & 0 \\ 0 & -1 \end{pmatrix} \begin{pmatrix} 0 \\ 1 \end{pmatrix} = -\frac{\hbar}{2} \begin{pmatrix} 0 \\ 1 \end{pmatrix} = -\frac{\hbar}{2} |\downarrow\rangle$$

$$S_z |\uparrow\rangle = \frac{\hbar}{2} \begin{pmatrix} 1 & 0 \\ 0 & -1 \end{pmatrix} \begin{pmatrix} 1 \\ 0 \end{pmatrix} = \frac{\hbar}{2} \begin{pmatrix} 1 \\ 0 \end{pmatrix} = \frac{\hbar}{2} |\uparrow\rangle \quad \checkmark$$

### Pauli-Spinmatrizen

$$\vec{S}_x = \frac{\hbar}{2} \sigma_x, \quad \vec{S}_y = \frac{\hbar}{2} \sigma_y, \quad \vec{S}_z = \frac{\hbar}{2} \sigma_z$$

oder kurz  $\vec{S} = \frac{\hbar}{2} \vec{\sigma}$

mit:

$$\boxed{\sigma_x = \begin{pmatrix} 0 & 1 \\ 1 & 0 \end{pmatrix}, \quad \sigma_y = \begin{pmatrix} 0 & -i \\ i & 0 \end{pmatrix}, \quad \sigma_z = \begin{pmatrix} 1 & 0 \\ 0 & -1 \end{pmatrix}}$$

In dieser Darstellung gilt:

$$S_+ = \frac{\hbar}{2} \begin{pmatrix} 0 & 1 \\ 0 & 0 \end{pmatrix}, \quad S_- = \frac{\hbar}{2} \begin{pmatrix} 0 & 0 \\ 1 & 0 \end{pmatrix}$$

denn:

$$\begin{aligned} S_+ &= S_x + i S_y = \frac{\hbar}{2} \sigma_x + i \frac{\hbar}{2} \sigma_y \\ &= \frac{\hbar}{2} \left[ \underbrace{\begin{pmatrix} 0 & 1 \\ 1 & 0 \end{pmatrix} + i \begin{pmatrix} 0 & -i \\ i & 0 \end{pmatrix}}_{= \begin{pmatrix} 0 & 1 \\ -1 & 0 \end{pmatrix}} \right] = \frac{\hbar}{2} \begin{pmatrix} 0 & 2 \\ 0 & 0 \end{pmatrix} \quad \checkmark \end{aligned}$$

### Eigenschaften der Pauli-Matrizen:

$$\sigma_x^2 = \sigma_y^2 = \sigma_z^2 = \mathbb{1} = \begin{pmatrix} 1 & 0 \\ 0 & 1 \end{pmatrix}$$

$$[\sigma_x, \sigma_y] = 2i \sigma_z$$

... (siehe Schwabl, Kap. 9.3)